

Linfogammagrafía cervical

M^a Asunción Cuchí Broquetas

ADVERTIMENT. La consulta d'aquesta tesi queda condicionada a l'acceptació de les següents condicions d'ús: La difusió d'aquesta tesi per mitjà del servei TDX (www.tesisenxarxa.net) ha estat autoritzada pels titulars dels drets de propietat intel·lectual únicament per a usos privats emmarcats en activitats d'investigació i docència. No s'autoritza la seva reproducció amb finalitats de lucre ni la seva difusió i posada a disposició des d'un lloc aliè al servei TDX. No s'autoritza la presentació del seu contingut en una finestra o marc aliè a TDX (framing). Aquesta reserva de drets afecta tant al resum de presentació de la tesi com als seus continguts. En la utilització o cita de parts de la tesi és obligat indicar el nom de la persona autora.

ADVERTENCIA. La consulta de esta tesis queda condicionada a la aceptación de las siguientes condiciones de uso: La difusión de esta tesis por medio del servicio TDR (www.tesisenred.net) ha sido autorizada por los titulares de los derechos de propiedad intelectual únicamente para usos privados enmarcados en actividades de investigación y docencia. No se autoriza su reproducción con finalidades de lucro ni su difusión y puesta a disposición desde un sitio ajeno al servicio TDR. No se autoriza la presentación de su contenido en una ventana o marco ajeno a TDR (framing). Esta reserva de derechos afecta tanto al resumen de presentación de la tesis como a sus contenidos. En la utilización o cita de partes de la tesis es obligado indicar el nombre de la persona autora.

WARNING. On having consulted this thesis you're accepting the following use conditions: Spreading this thesis by the TDX (www.tesisenxarxa.net) service has been authorized by the titular of the intellectual property rights only for private uses placed in investigation and teaching activities. Reproduction with lucrative aims is not authorized neither its spreading and availability from a site foreign to the TDX service. Introducing its content in a window or frame foreign to the TDX service is not authorized (framing). This rights affect to the presentation summary of the thesis as well as to its contents. In the using or citation of parts of the thesis it's obliged to indicate the name of the author.

L I N F O G A M A G R A F I A C E R V I C A L

M^ª Asunción Cuchi Broquetas

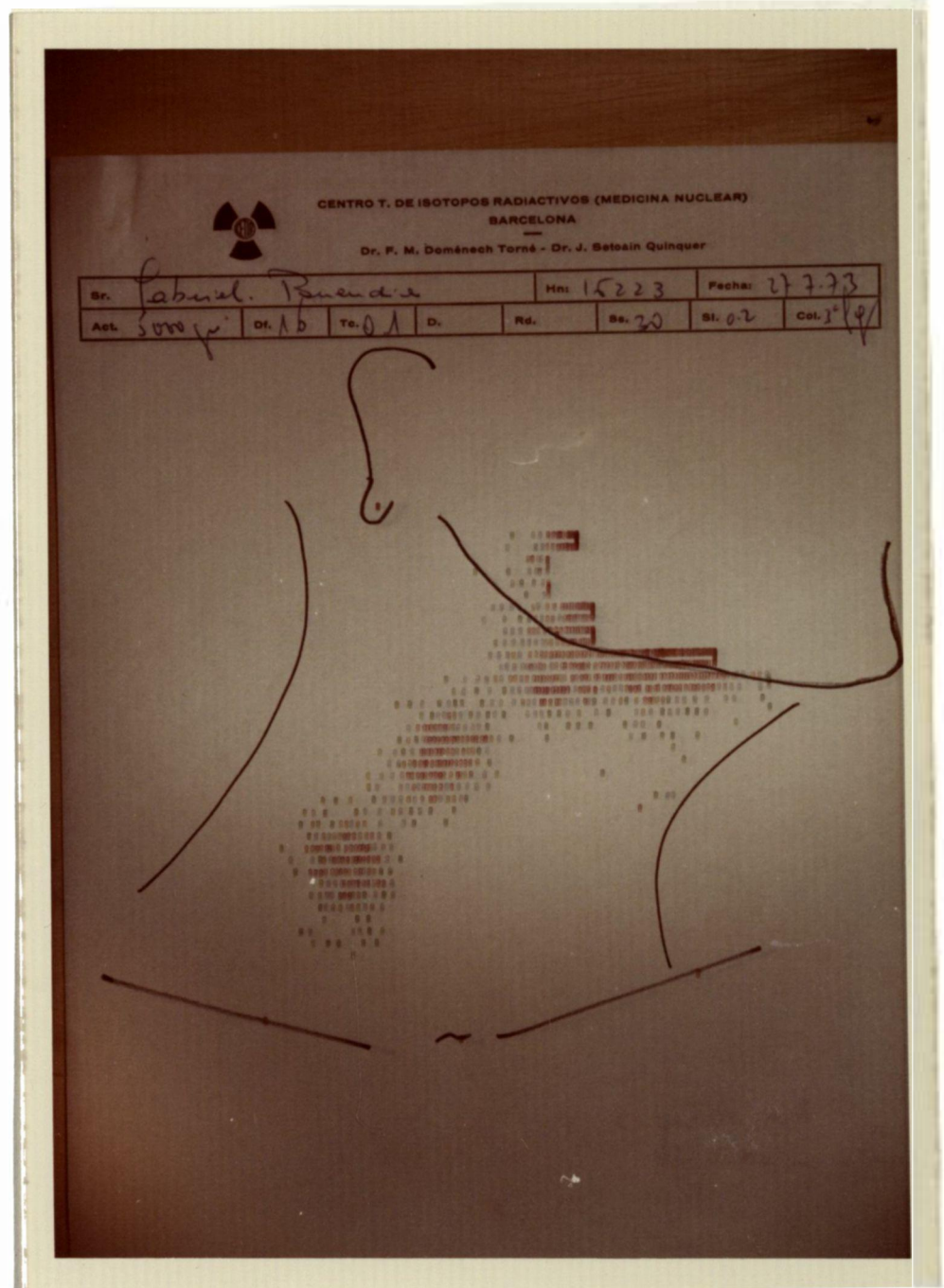
TESIS DOCTORAL

MUCOSA MEJILLA



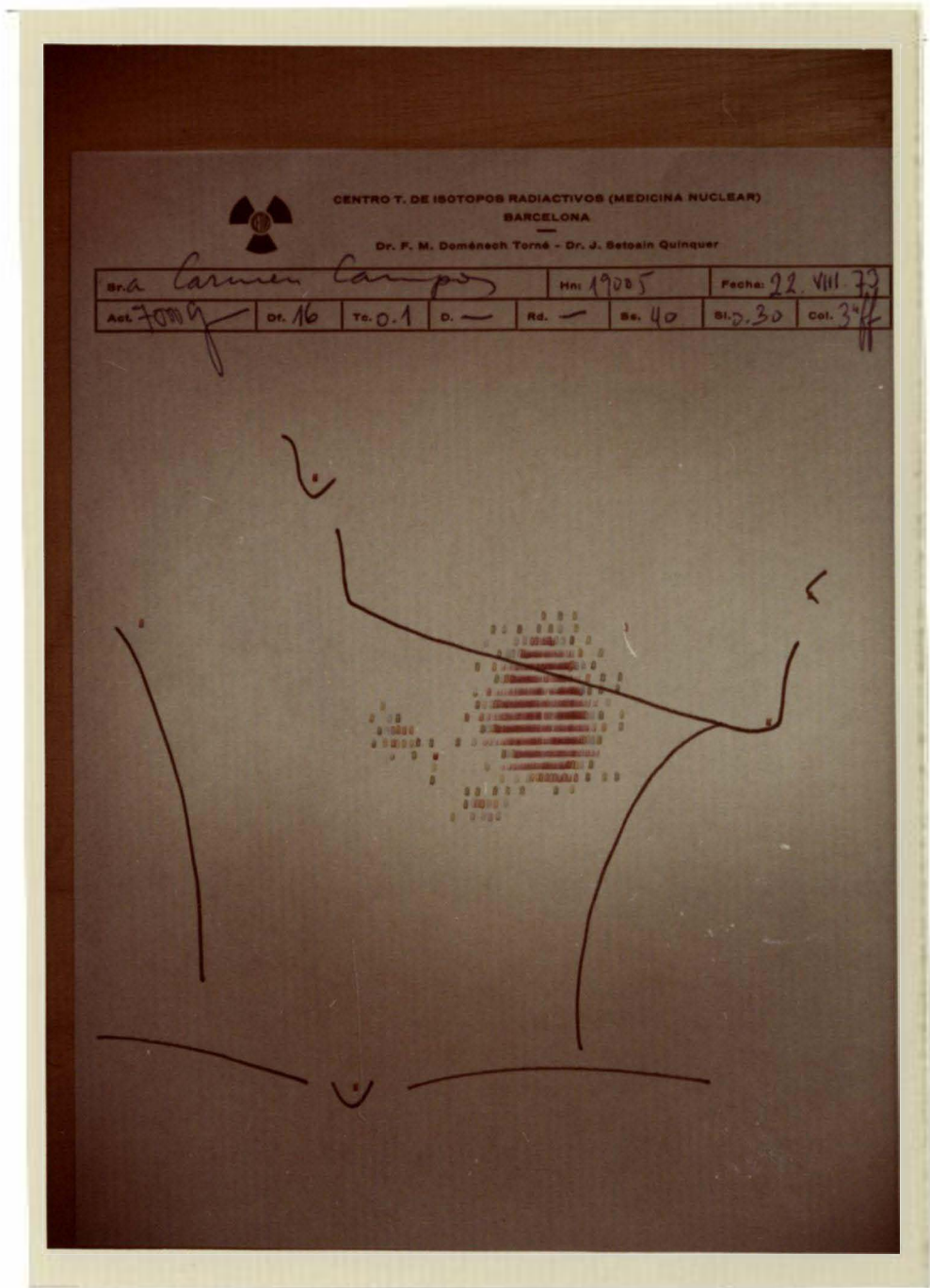
Obs. nº 1.- Mucosa Mejilla.

Enfermo gangliectomizado hace 8 meses. Observamos la repermeabilización de las vías por la aparición de dos grupos supraclaviculares.



Obs. nº 2.- I. Mucosa Mejilla.

Emigración muy buena desde el punto de inyección a través de toda la Cadena Yugular.



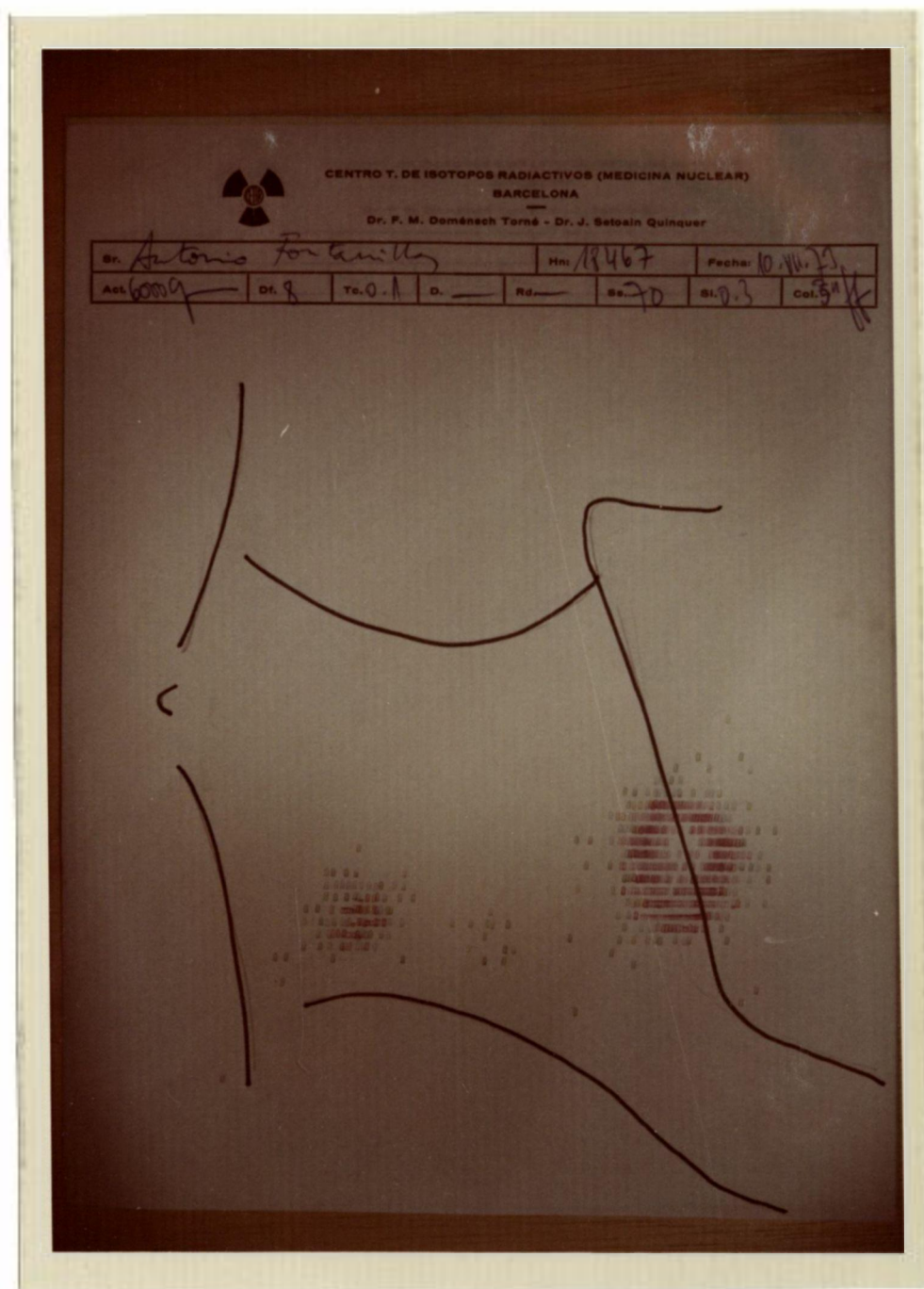
Obs. nº 3.- Mucosa Mejilla

Emigración escasa del trazador quedando acumulado en gran parte en el punto de inyección. Se visualizan - dos grupos de la cadena yugular anterior y posterior.



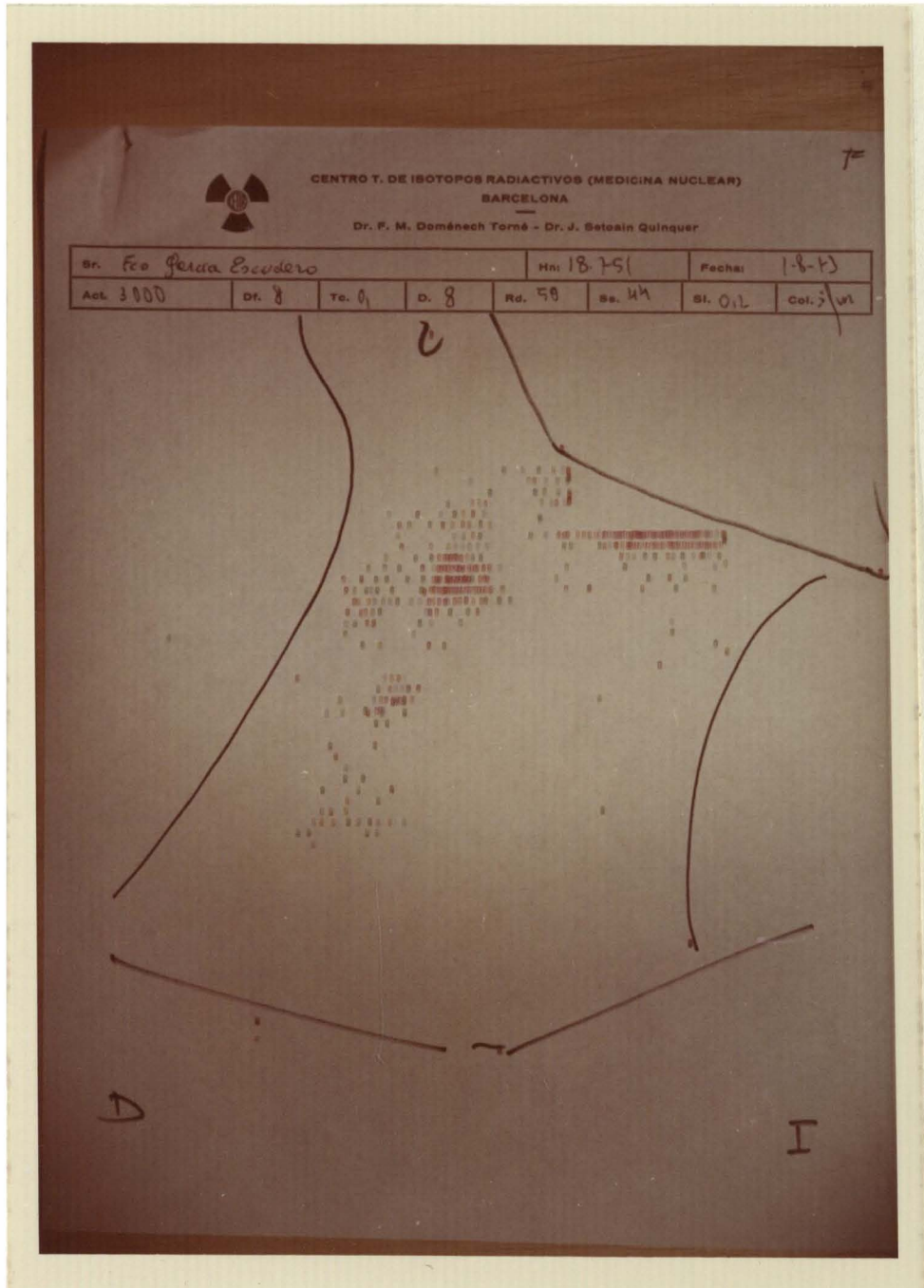
Obs. nº 4.- Mucosa Mejilla.

Buena emigración en toda la cadena yugular anterior.
No aparece el grupo submaxilar.



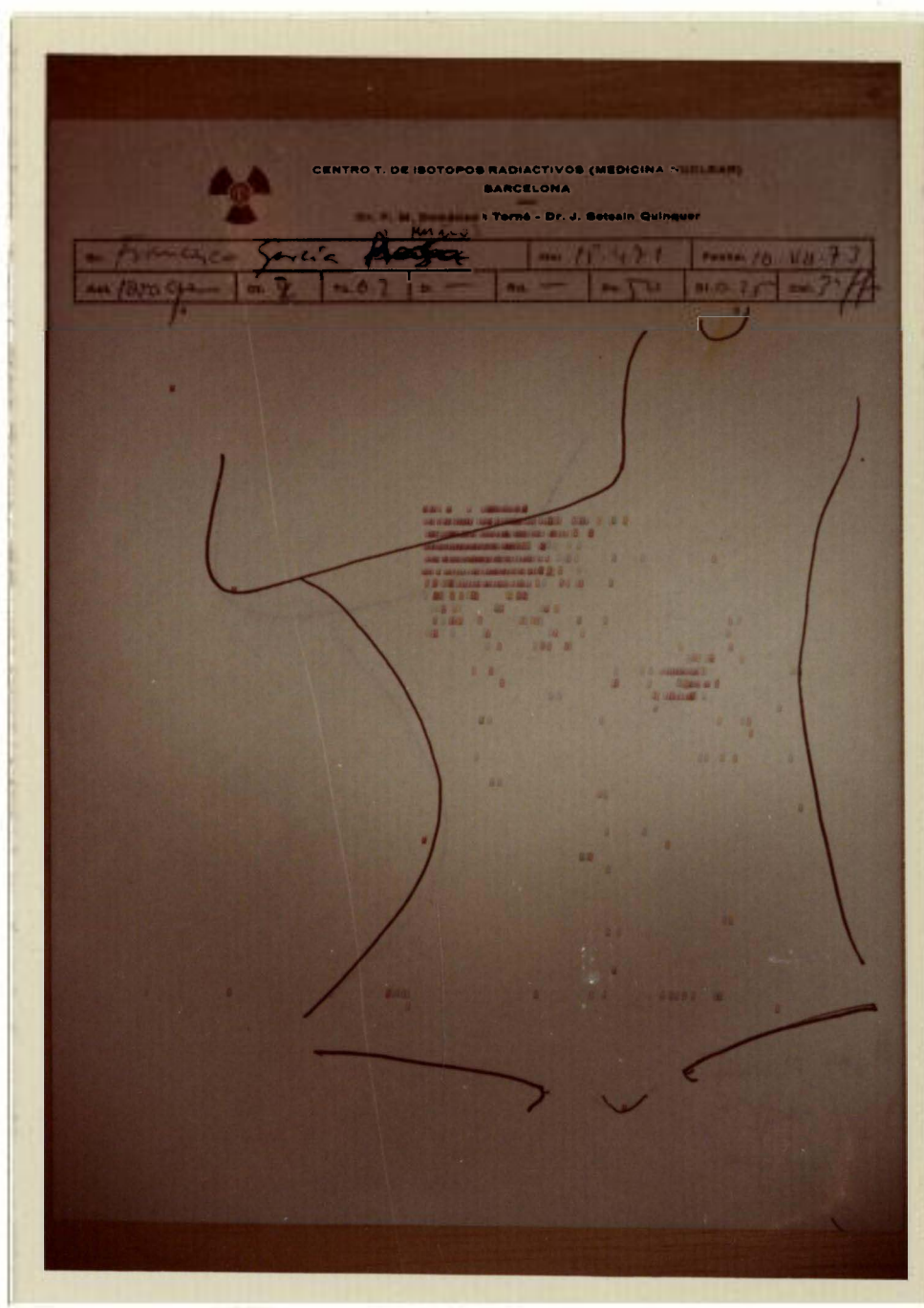
Obs. nº 5.- Mucosa Mejilla.

Emigración discreta observandose bien el grupo distal de la cadena yugular.



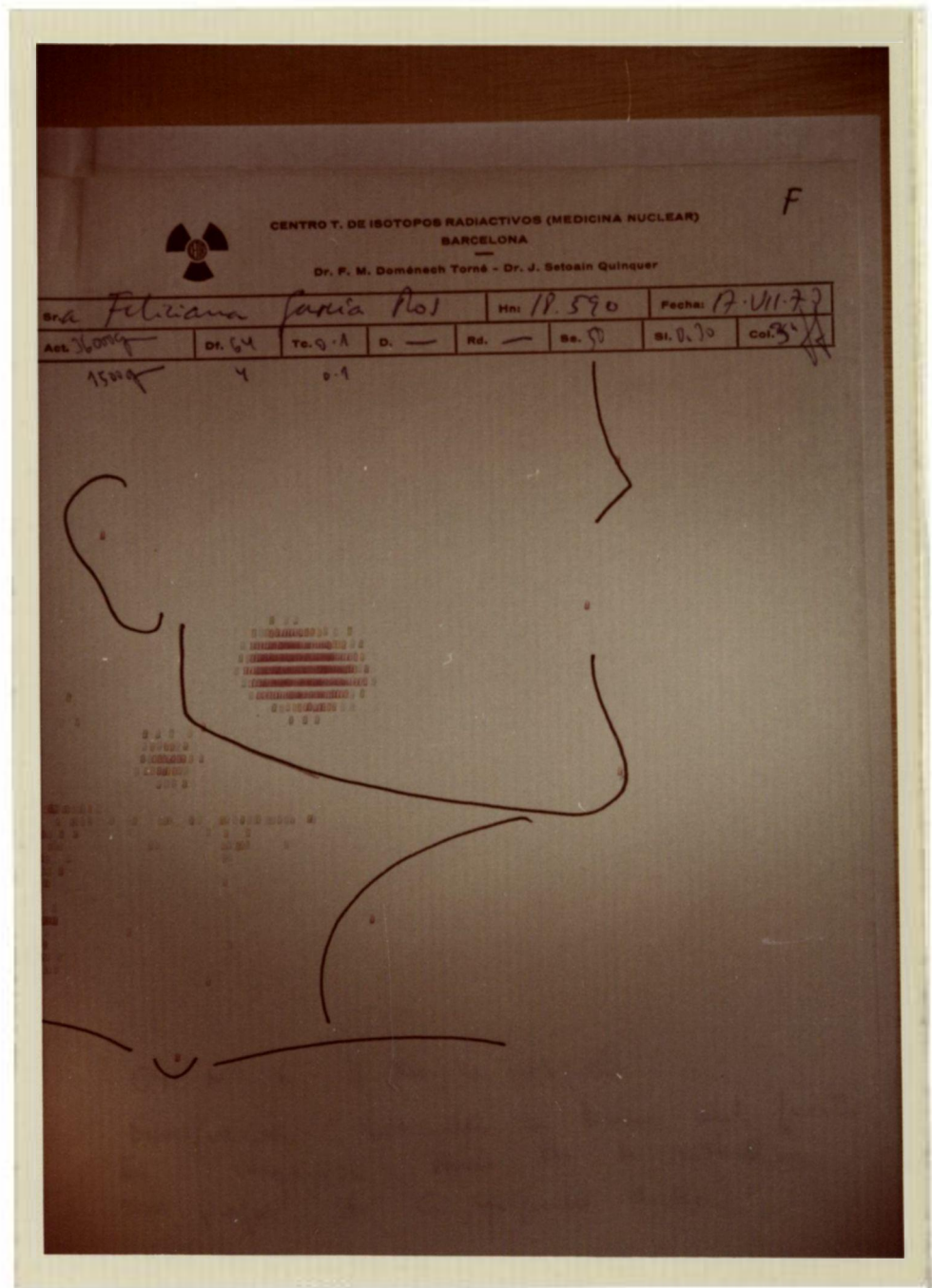
Obs. nº6.- I. Mucosa mejilla.

Emigración discreta hacia grupos posteriores de la cadena yugular.



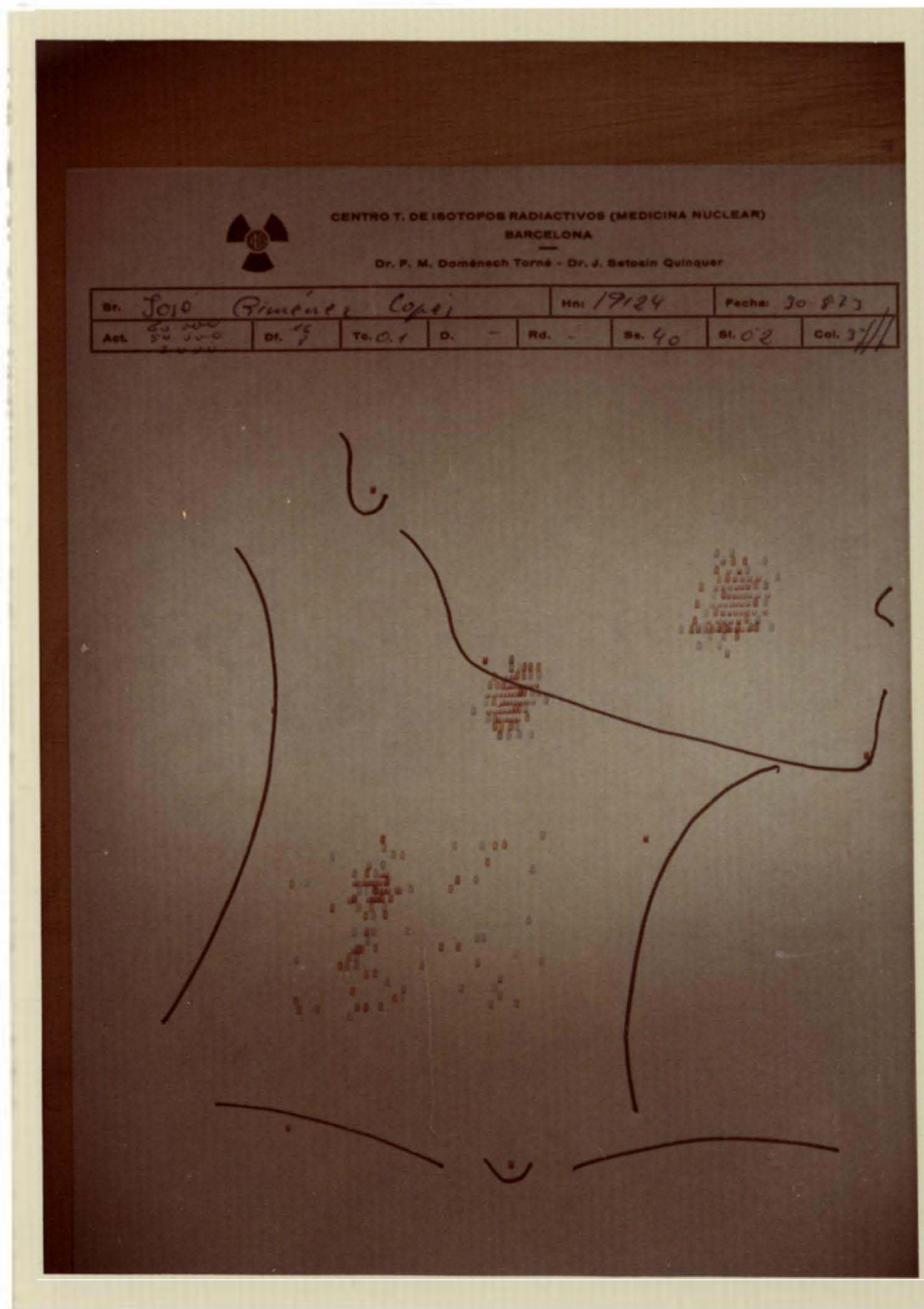
Obs. nº 7.- Mucosa mejilla.

Emigración discreta a partir del punto de inyección observándose un grupo de la Cadena yugular posterior.



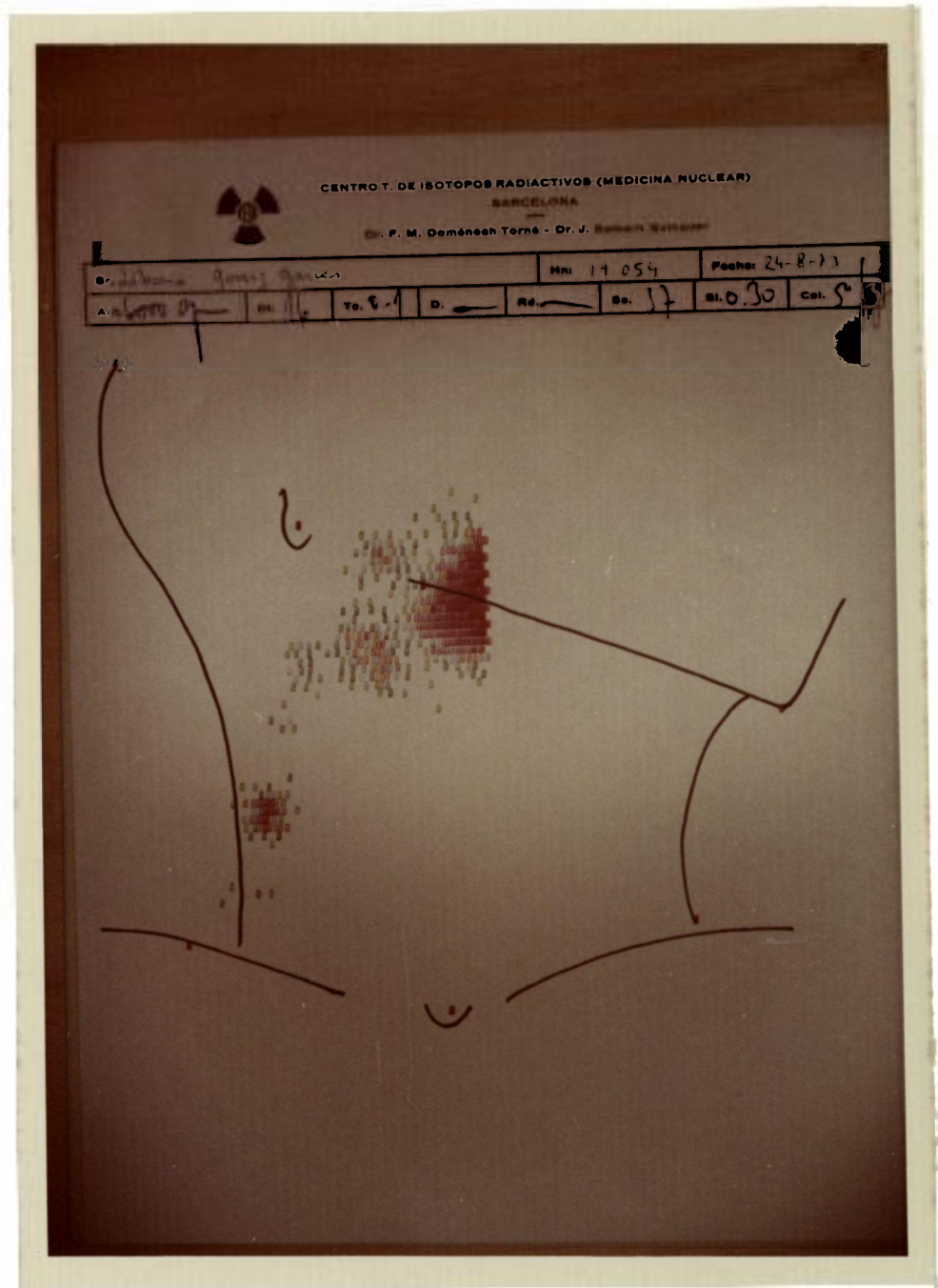
Obs. nº 8.- I. Mucosa mejilla.

Emigración discreta a través del punto de inyección.
Aún así se visualizan tres grupos de Cadena yugular anterior.



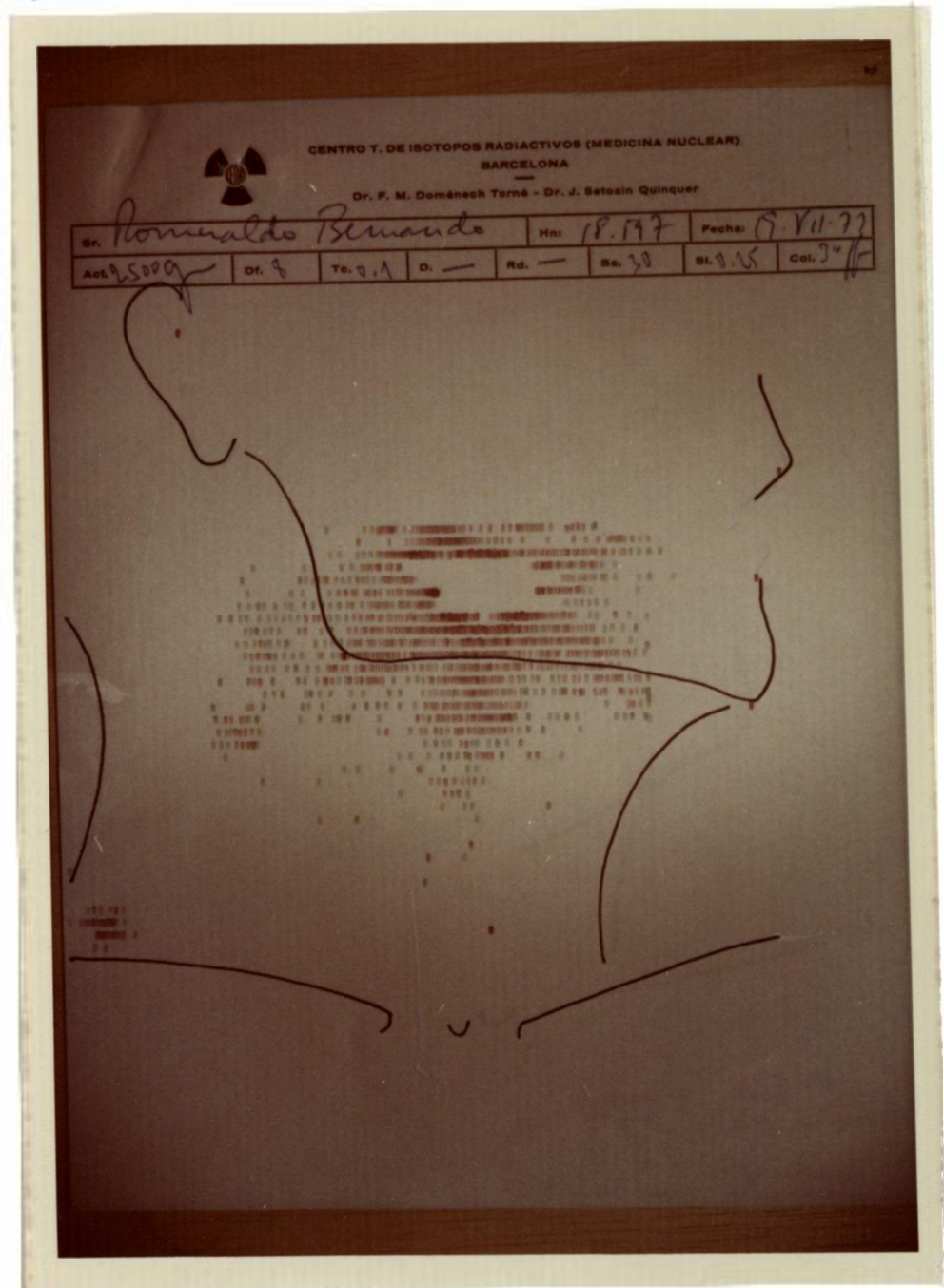
Obs. nº 9.- Mucosa mejilla.

Buena emigración del trazado a través de la cadena yugular anterior.



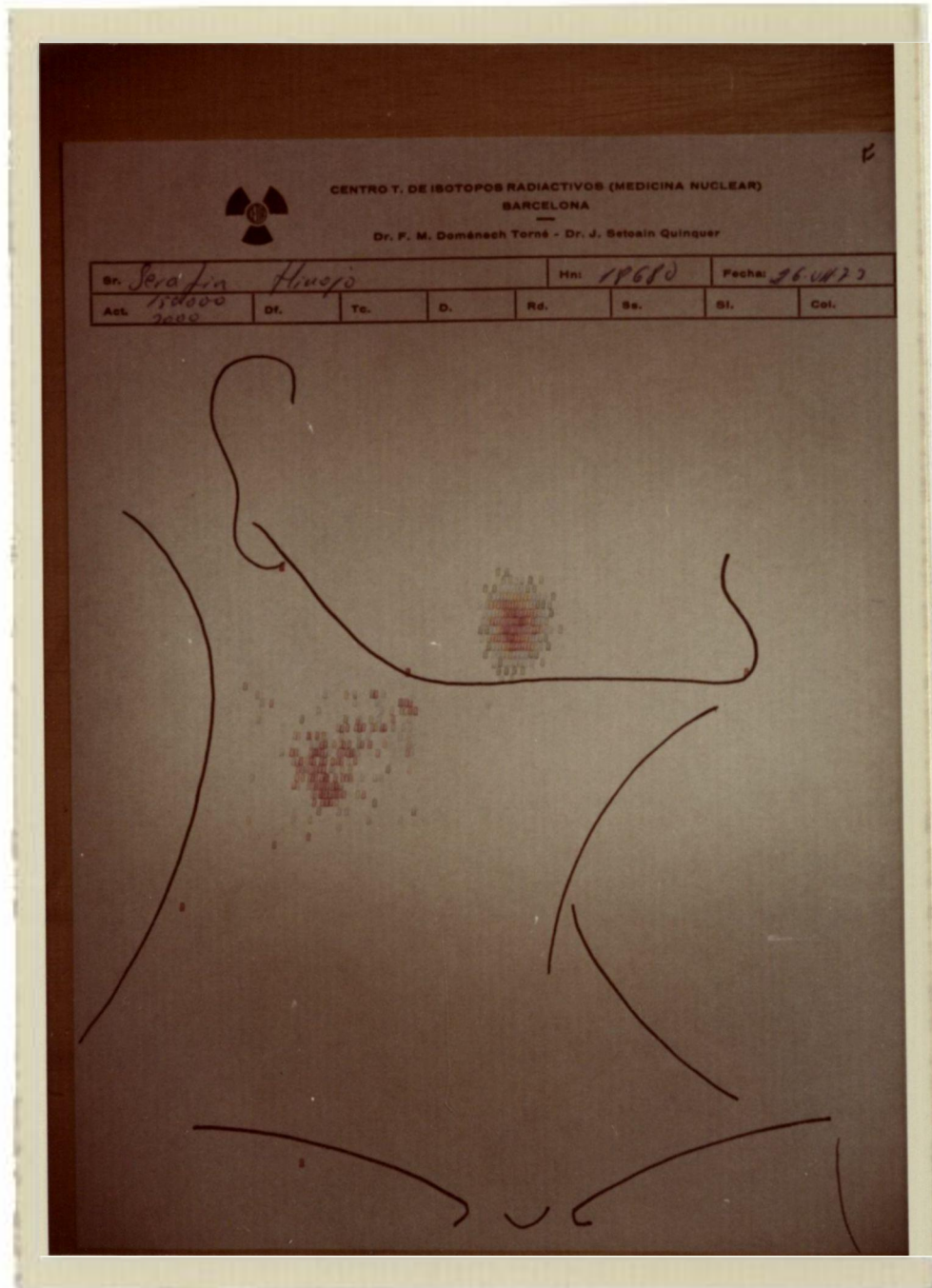
Obs. nº 10.- Mucosa mejilla.

Buena emigración del trazador a través de los grupos posteriores de la cadena yugular.



Obs. nº 11.- I. Mucosa mejilla.

El trazador a partir del punto de inyección se distribuye por todos los grupos submaxilares y a través de elementos de Cadena Espinal, se visualiza un elemento-supraclavicular.



Obs. nº 12.- Mucosa mejilla.

Emigración discreta. Se visualiza solo un grupo proximal de Cadena Yugular.



CENTRO T. DE ISOTOPOS RADIATIVOS (MEDICINA NUCLEAR)
BARCELONA

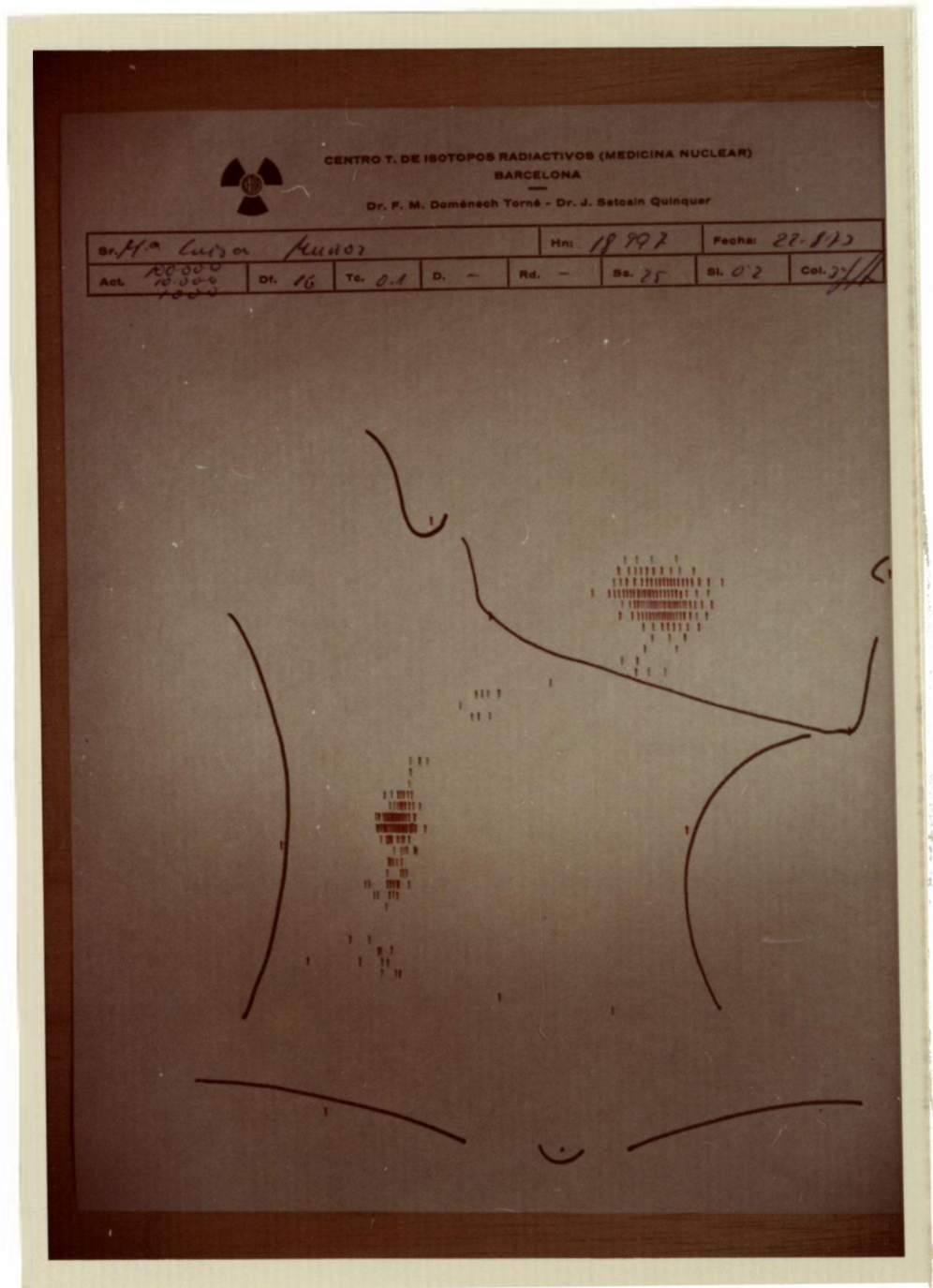
Dr. P. M. Doménech Torné - Dr. J. Setoain Quinquer

Gr.	Valentín Jesús Ibarré			Hn.	18.721	Fecha:	21.7.73								
Act.	2000 p	Di.	32	Ta.	51	D.		Rd.		Sa.	70	Sl.	0.2	Col.	3'4



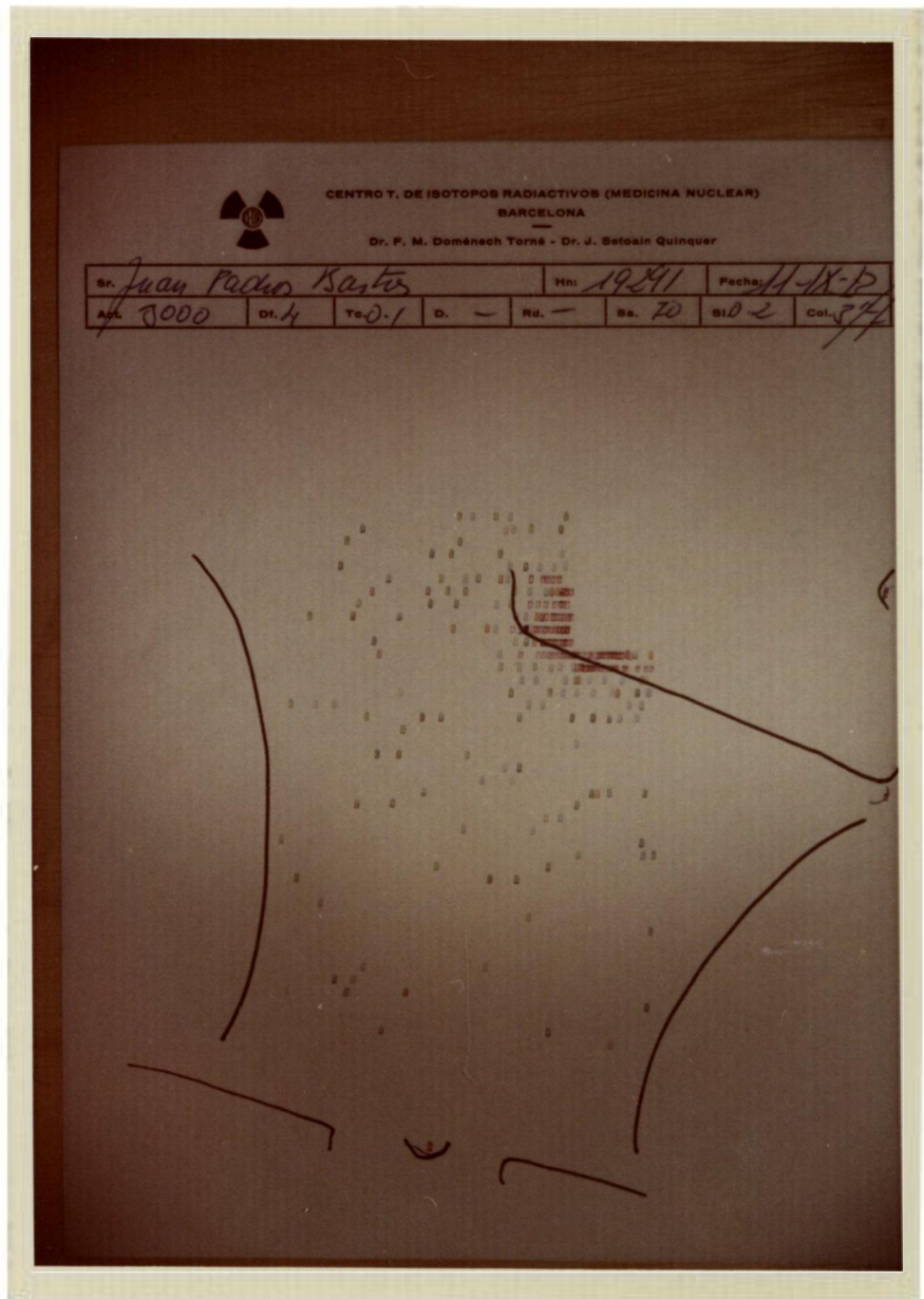
Obs. nº 13.- I. Mucosa mejilla.

Emigración escasa a partir del punto de inyección.
Se visualiza solo un grupo yugular posterior.



Obs. nº 14.- Mucosa mejilla.

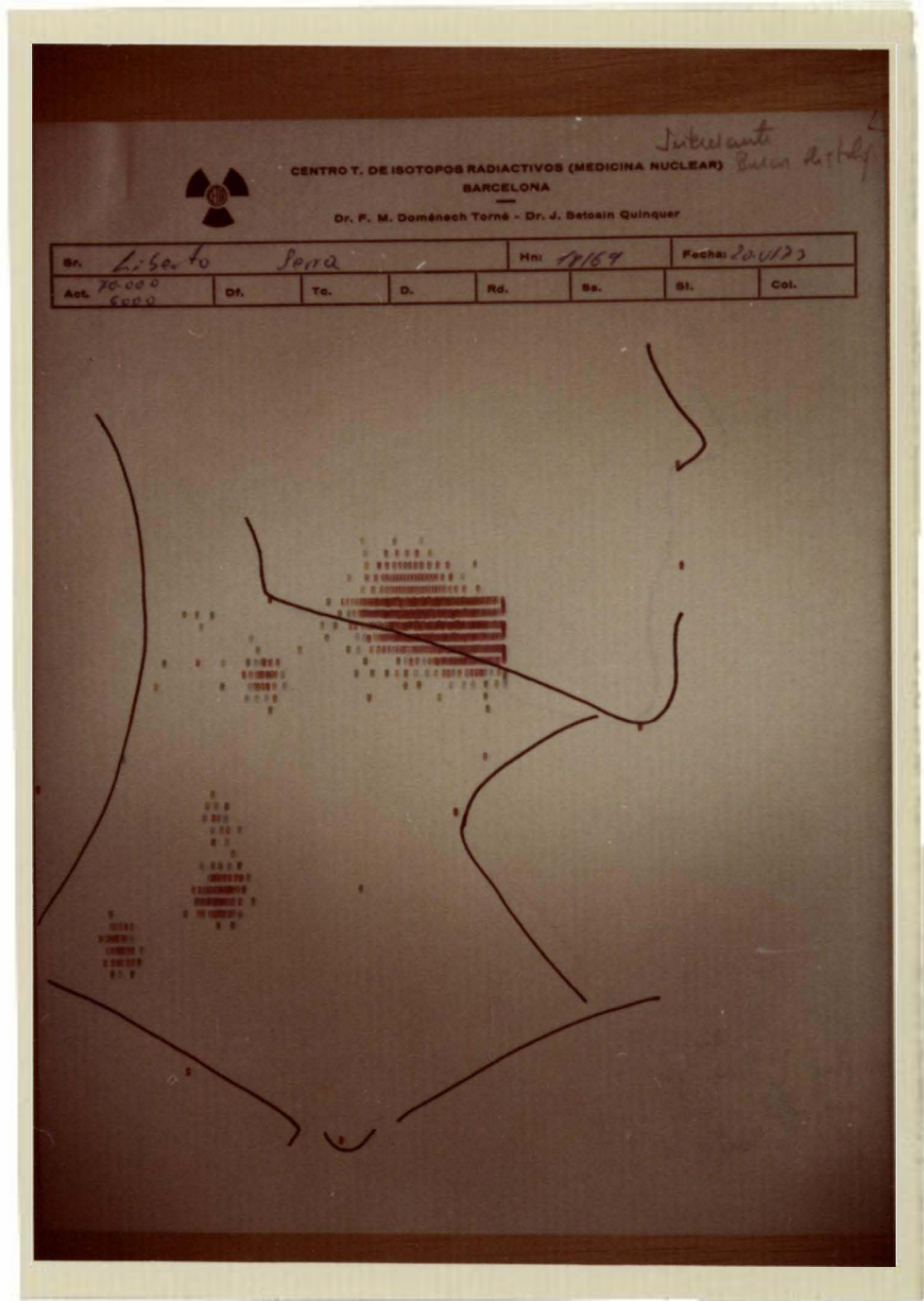
Emigración discreta del trazador a través de los grupos anteriores de la Cadena yugular.



Obs. nº 15.- Mejilla D.

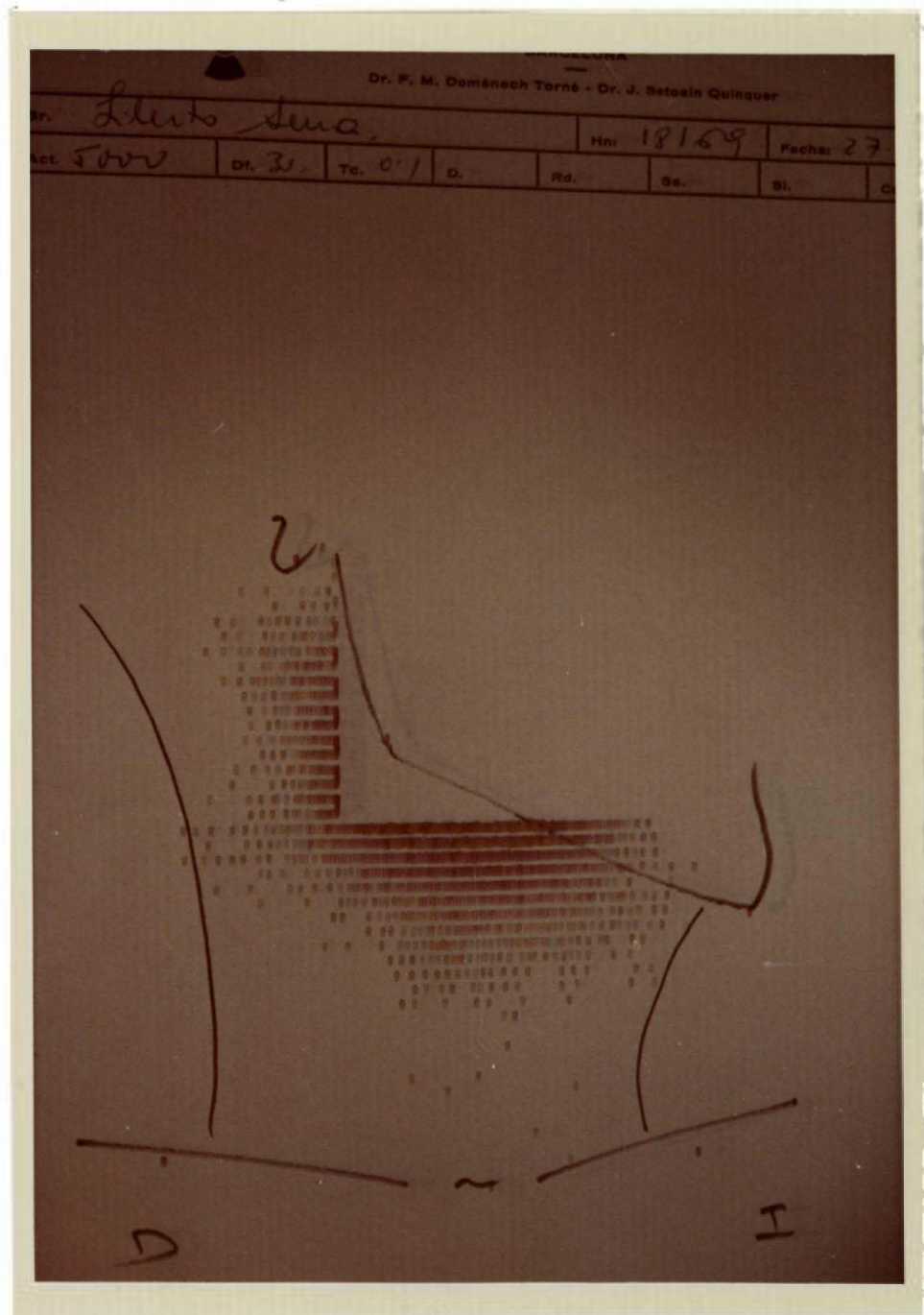
Emigración escasa.

Enfermo Irradiado.



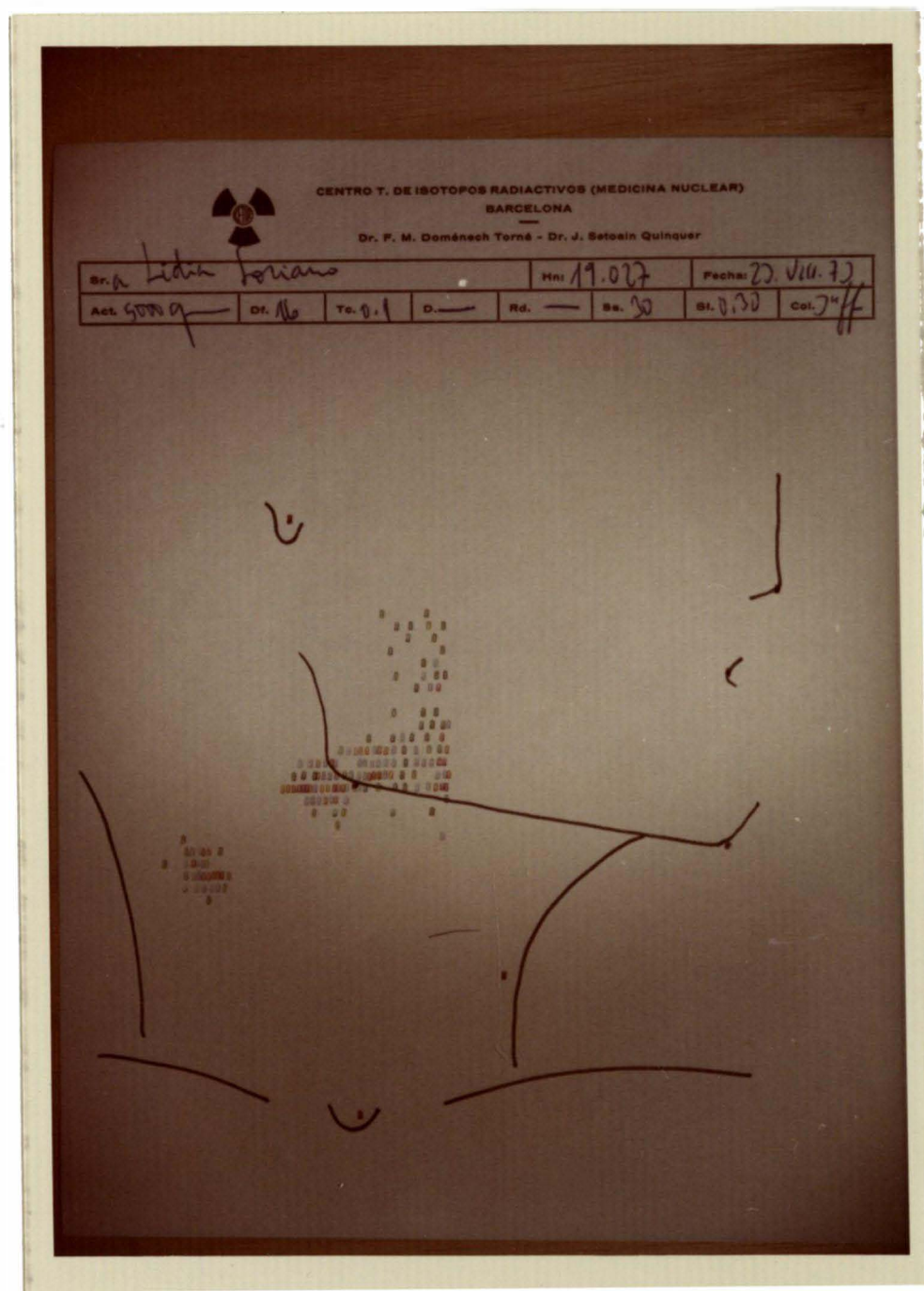
Obs. nº 16.- I. Mucosa mejilla.

Emigración buena a través de Cadena Yugular anterior.
La zona en que falta actividad corresponde a una pequeña adenopatía palpable, histologicamente maligna.



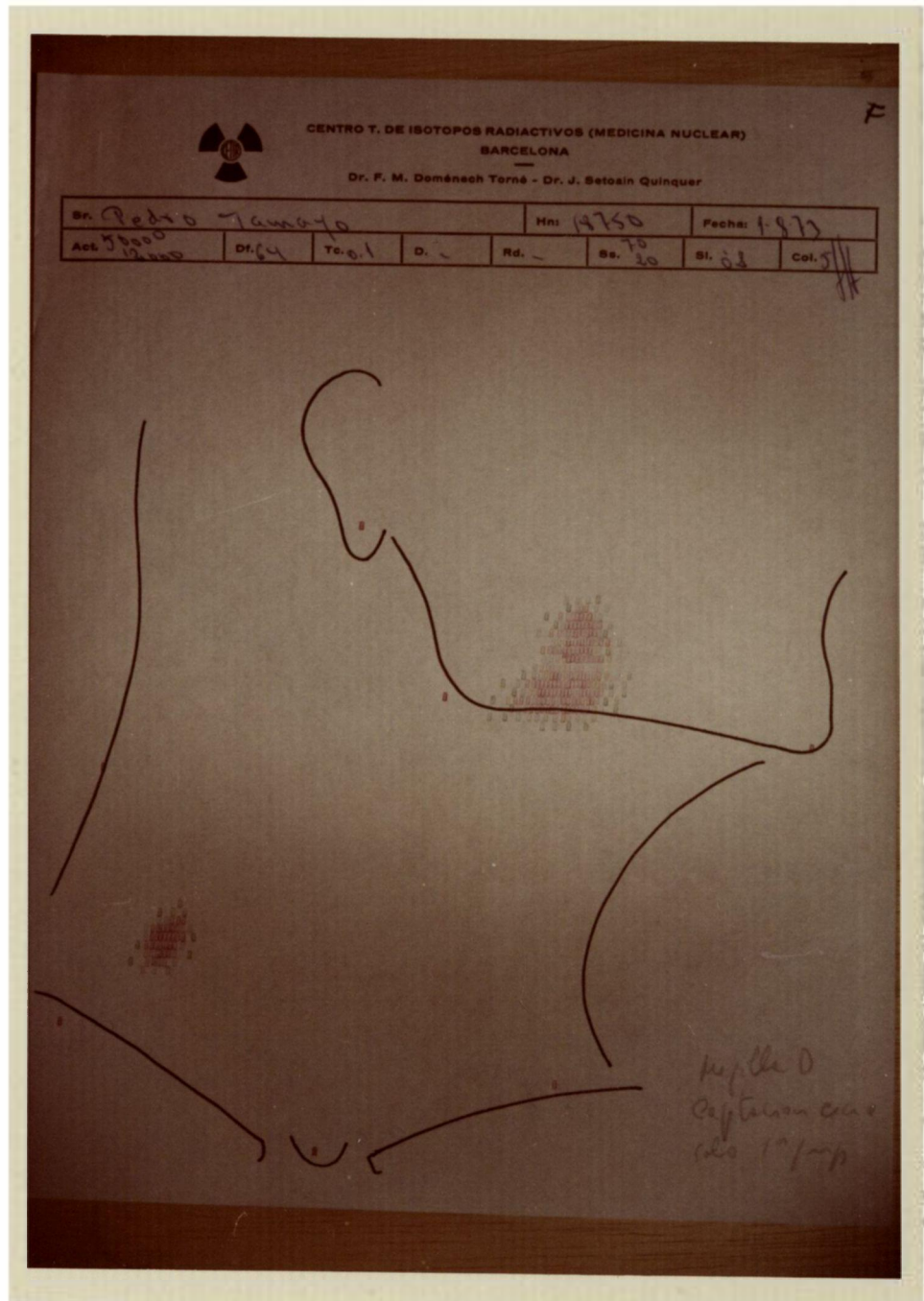
Obs. nº 16 bis.- Mucosa mejilla.

Emigración nula. Insinuándose solo grupos submaxilares. Enfermo gangliectomizado hace tres semanas. Aún no ha tenido lugar la reepimermeabilización.



Obs. nº 17.- Mucosa mejilla.

Escasa actividad incluso en zona correspondiente al punto de inyección. Se cometió un error en el cálculo de actividad y a esta enferma se le inyectaron so lo 50⁴ c.



Obs. nº 18.- I. Mucosa Mejilla.

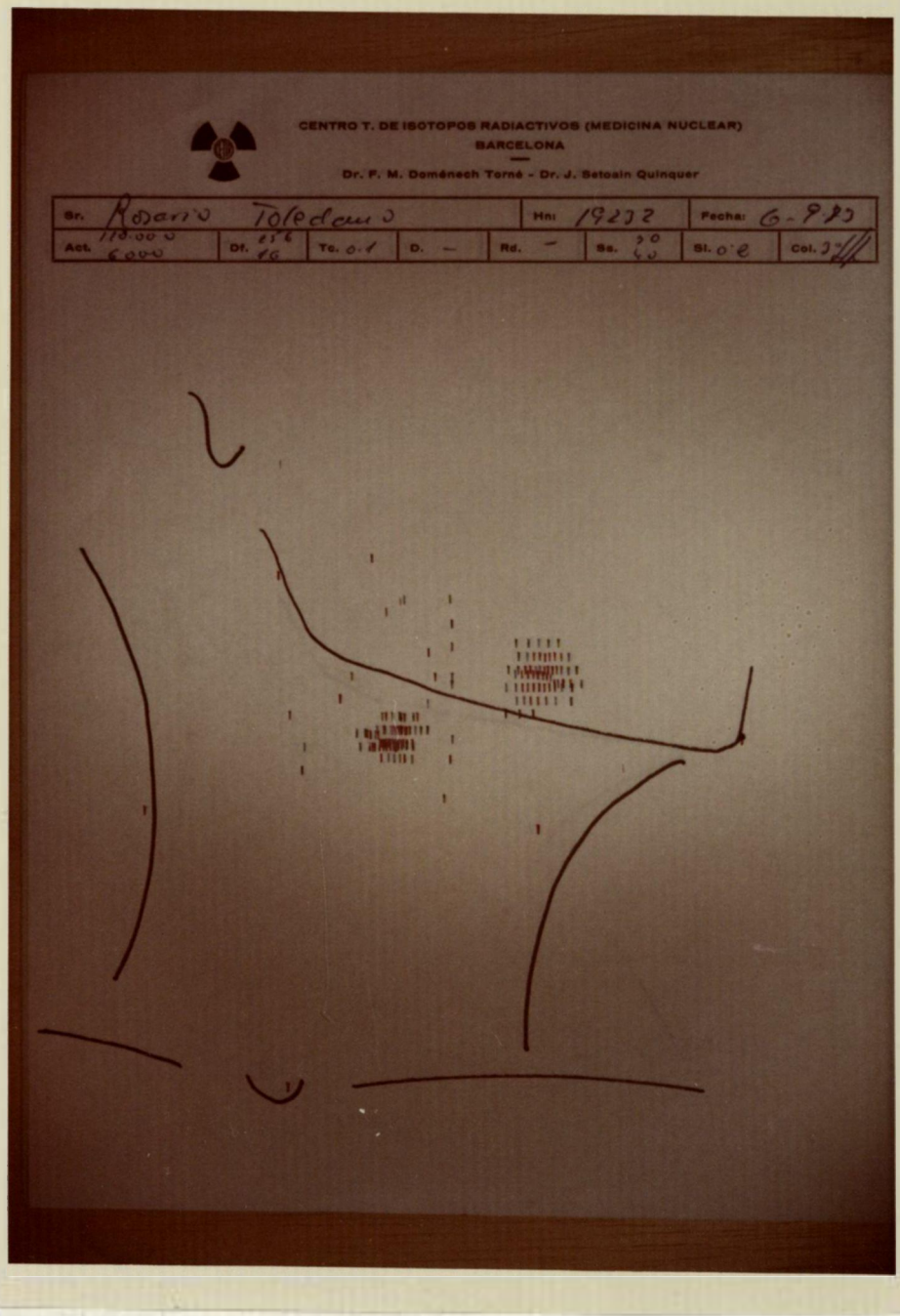
Solo aparece un grupo supraclavicular. Enfermo irradiado hace 4 años.



CENTRO T. DE ISOTOPOS RADIATIVOS (MEDICINA NUCLEAR)
BARCELONA

Dr. F. M. Doménech Torné - Dr. J. Sotoain Quinquar

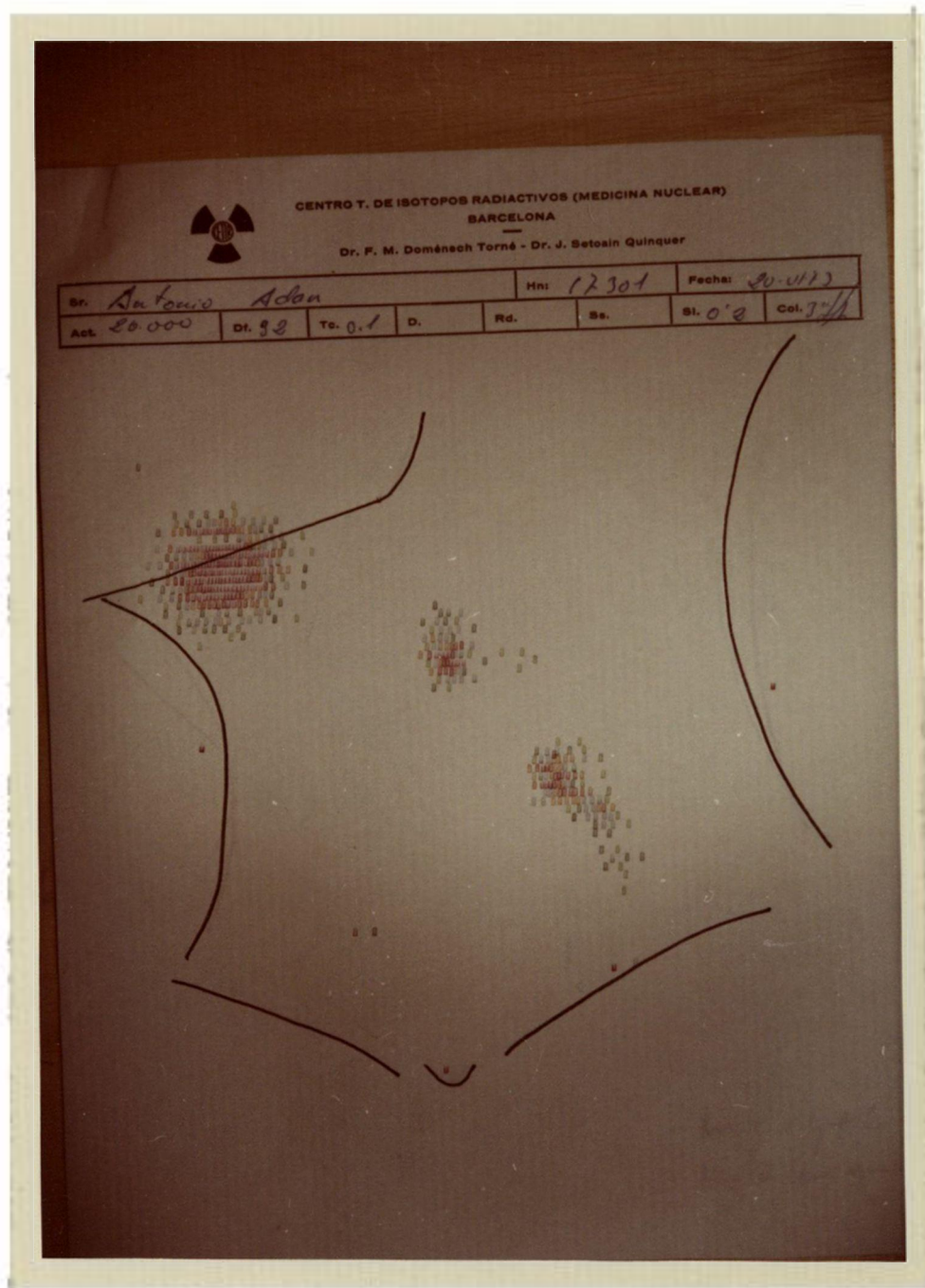
Sr. <i>Rosario Toledo</i>	Hn: <i>19272</i>	Fecha: <i>6-9-93</i>					
Act. <i>170.000</i> <i>6000</i>	Df. <i>16</i>	Ta. <i>0.1</i>	D. <i>-</i>	Rd. <i>-</i>	Sa. <i>30</i> <i>60</i>	Sl. <i>0.2</i>	Col. <i>37</i>



Obs. nº 19.- Mejilla D.

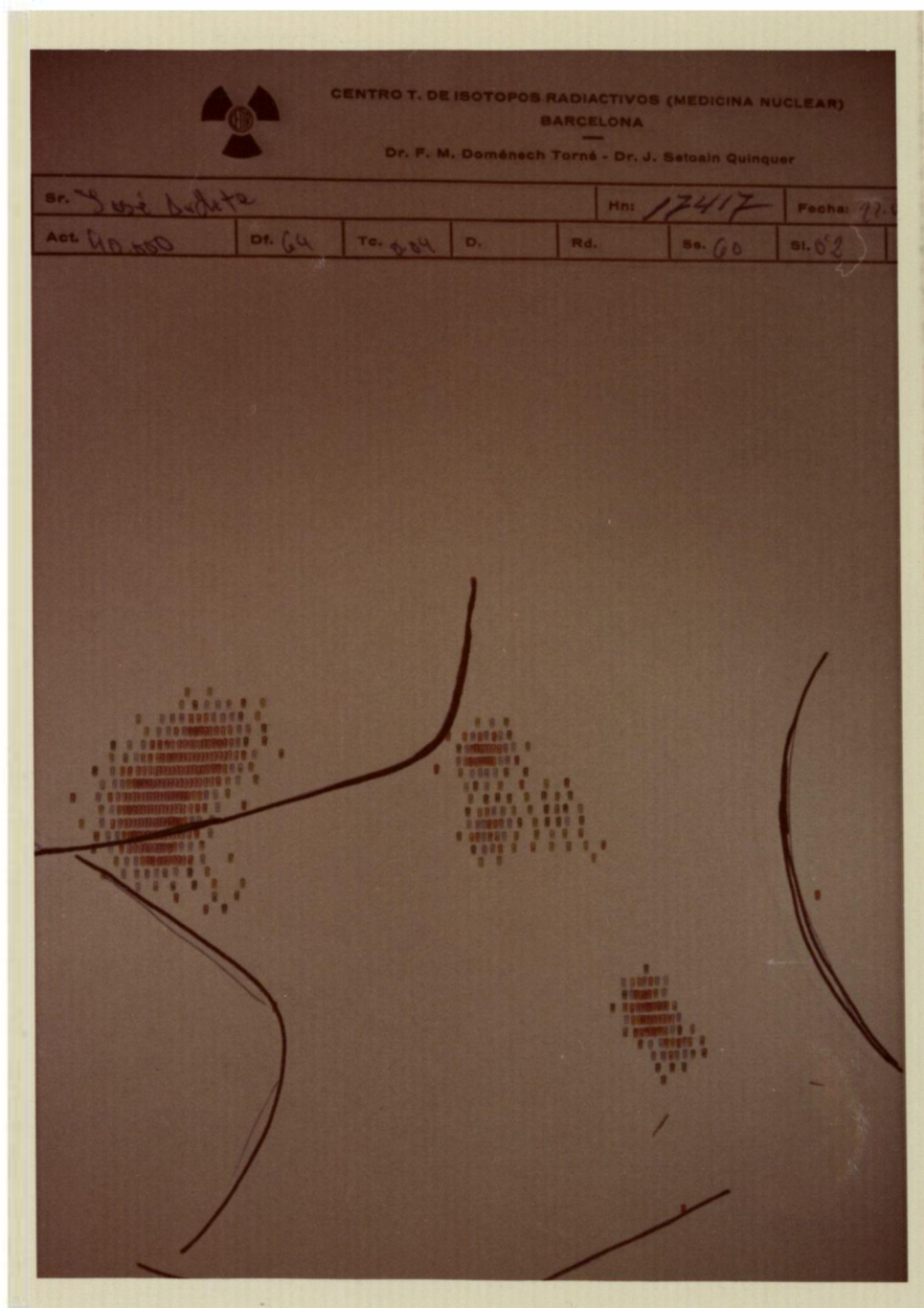
Emigración escasa del trazador. Poniendose solo de manifiesto el primer grupo de la Cadena Yugular anterior.

BASE LENGUA



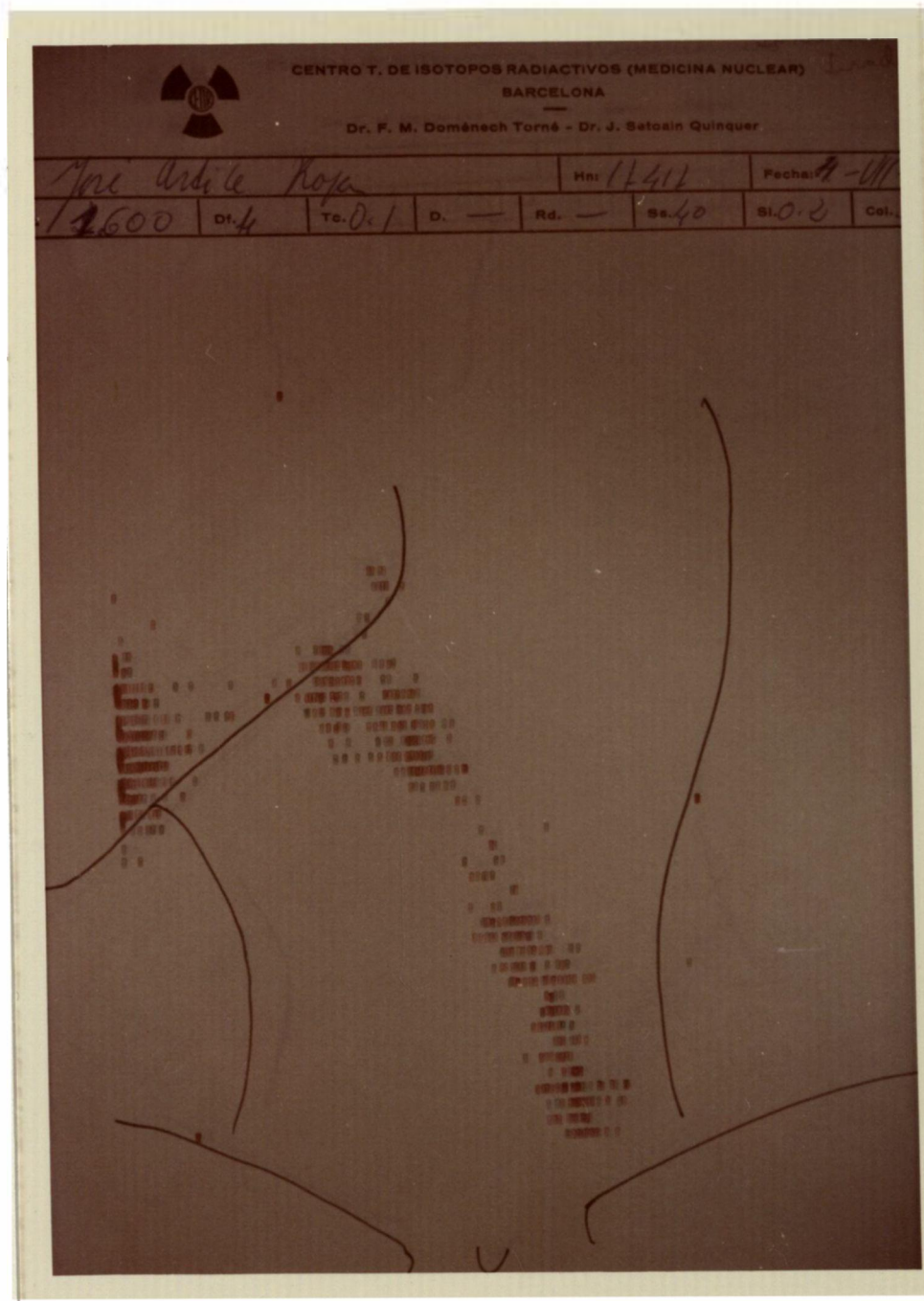
Obs. nº 1.- I. Base lengua.

La emigración del trazador es discreta visualizándose bien dos grupos de la Cadena Yugular anterior.



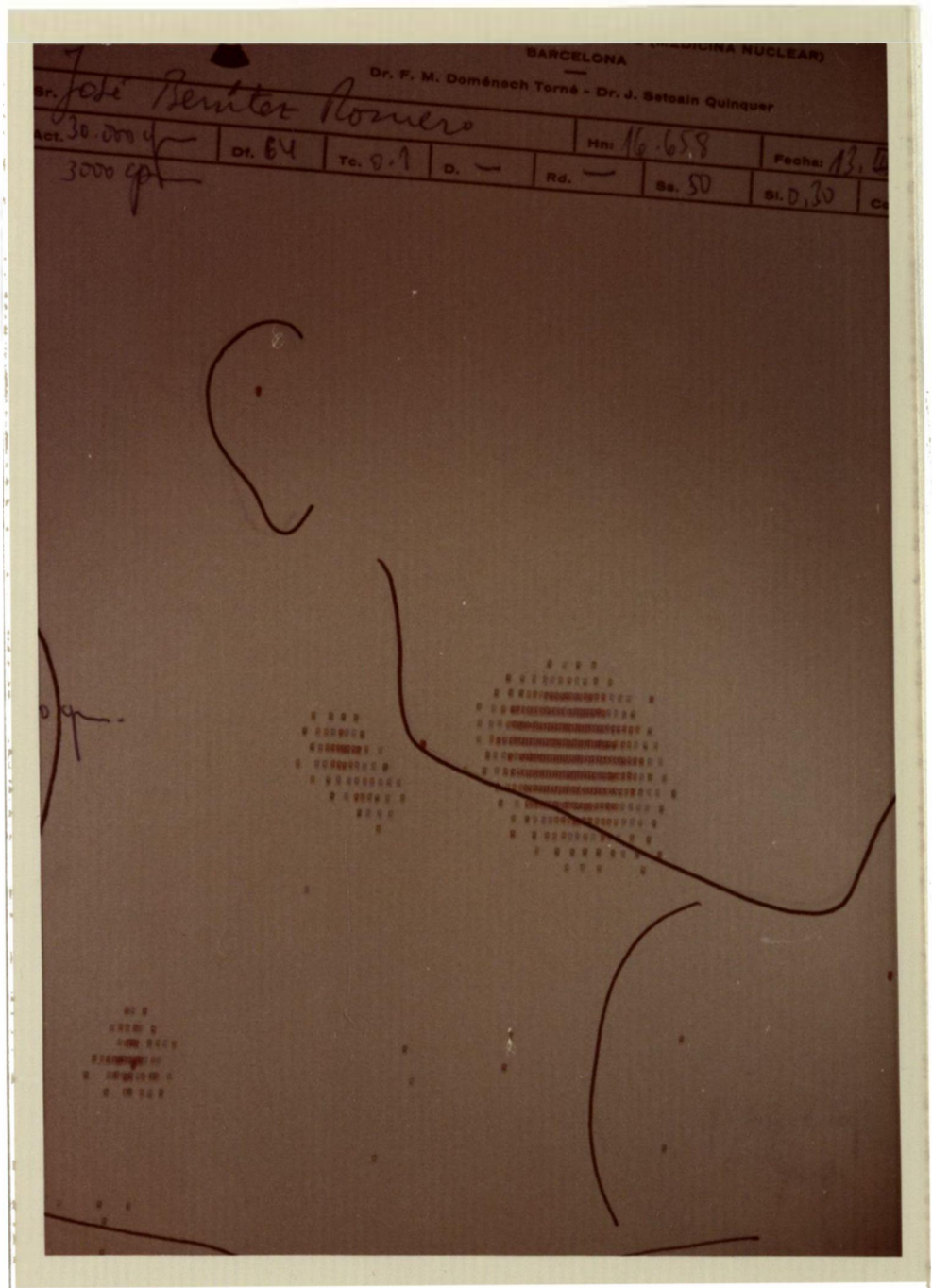
Obs. nº 2.- I. Base lengua.

Buena emigración del trazador anterior de los grupos anteriores de Cadena Yugular.



Obs. nº 2-bis.- Base lengua.

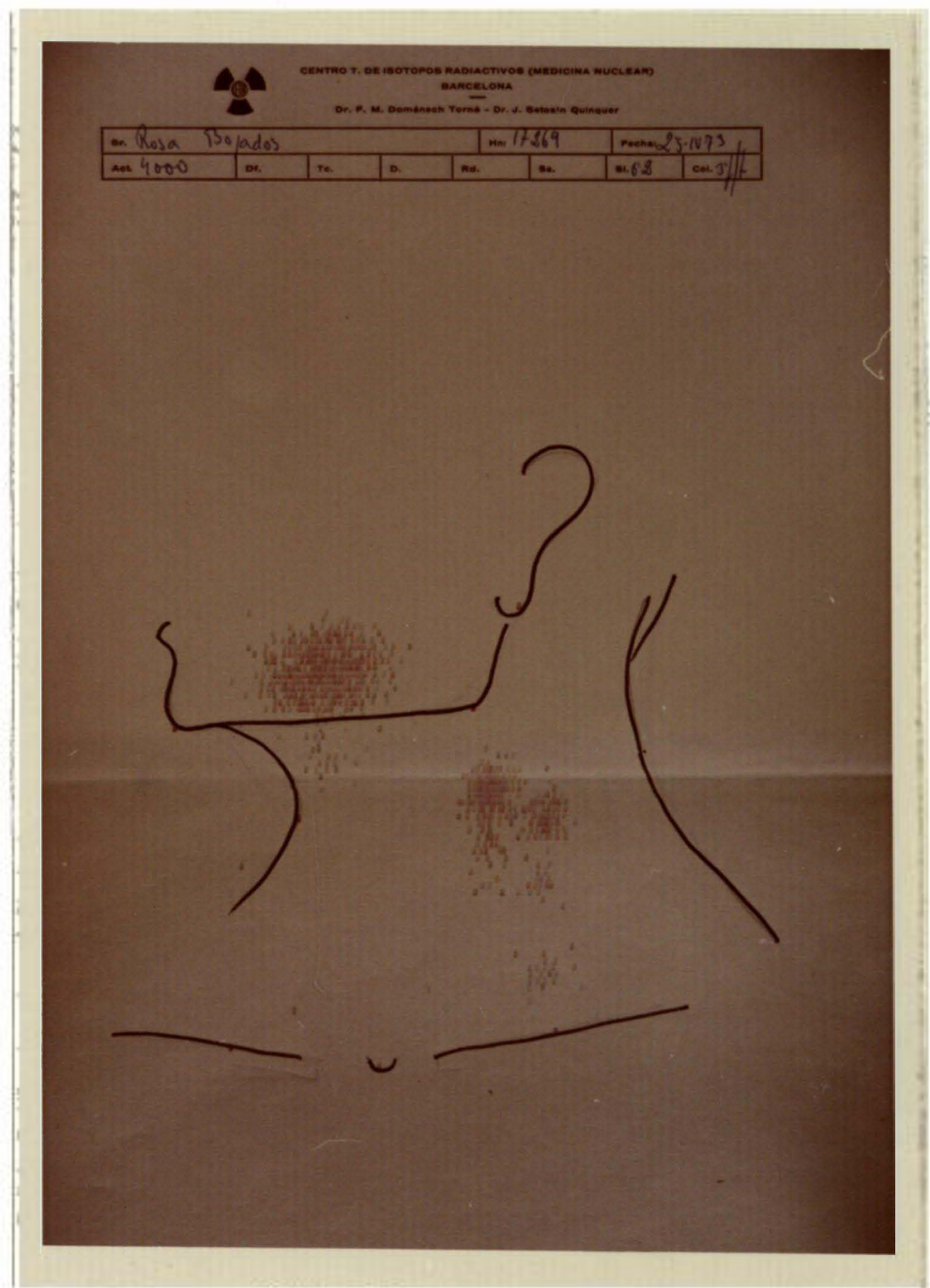
Emigración buena a través de los grupos anteriores de la cadena yugular. La irradiación de paladar --- blando a que ha sido sometido este paciente no --- afectó los ganglios cervicales.



Obs. nº 3.- I. Base lengua.

Emigración del trazador por los grupos anteriores
Cadena Yugular.

La zona en la que se observa falta de actividad -
corresponde a una adenopatía palpable confirmada-
posteriormente como neoplasia.



Obs. Nº4.-I. Base lengua.

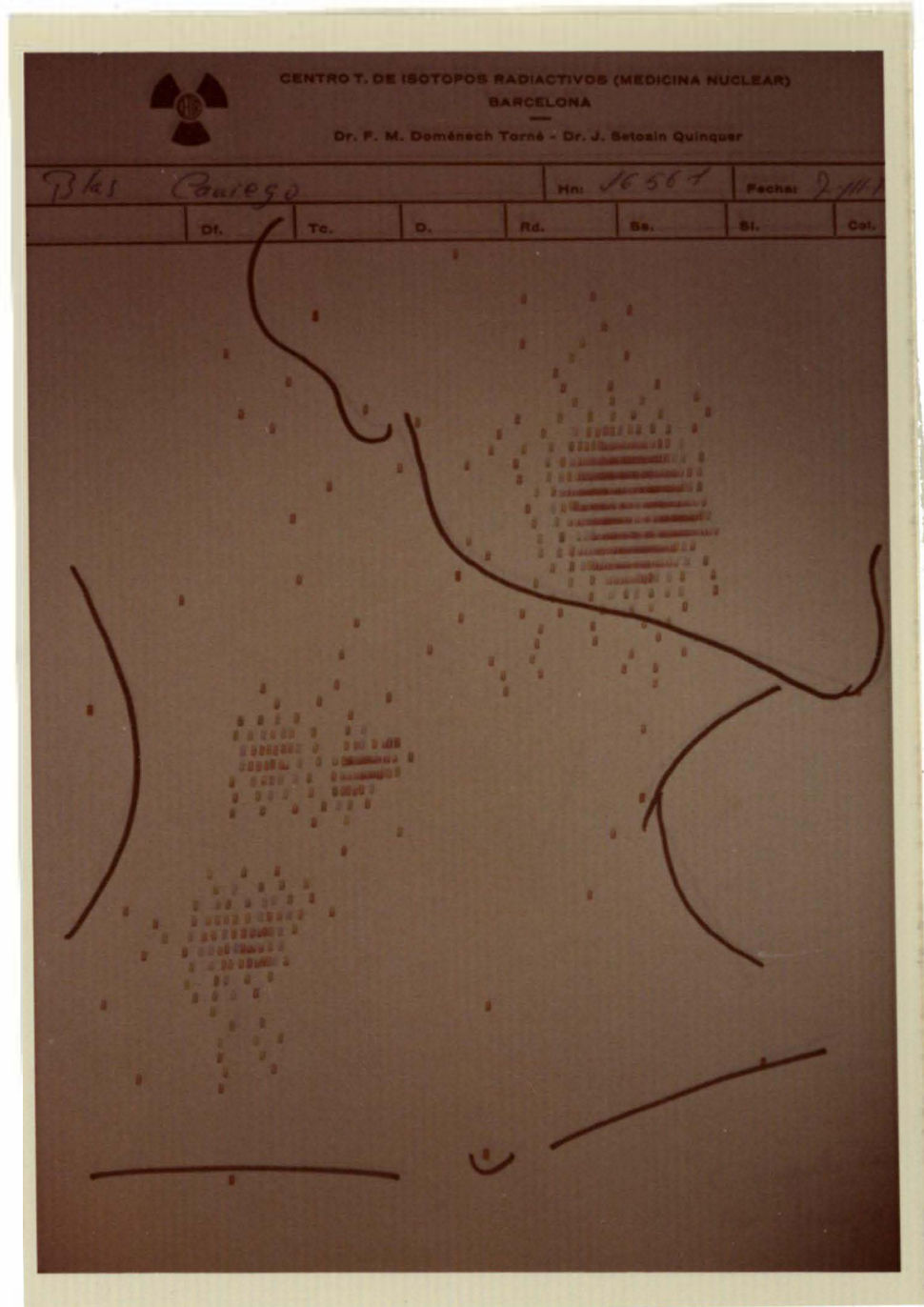
Emigración del trazador discreta pero clara a través de la C. Yugular anterior.



Obs. nº 5.- I. Base lengua.

Emigración muy escasa observándose solo un grupo submaxilar.

Este enfermo hace 2 meses fué irradiado por padecer una Neoplasia "in situ" de comisura anterior.



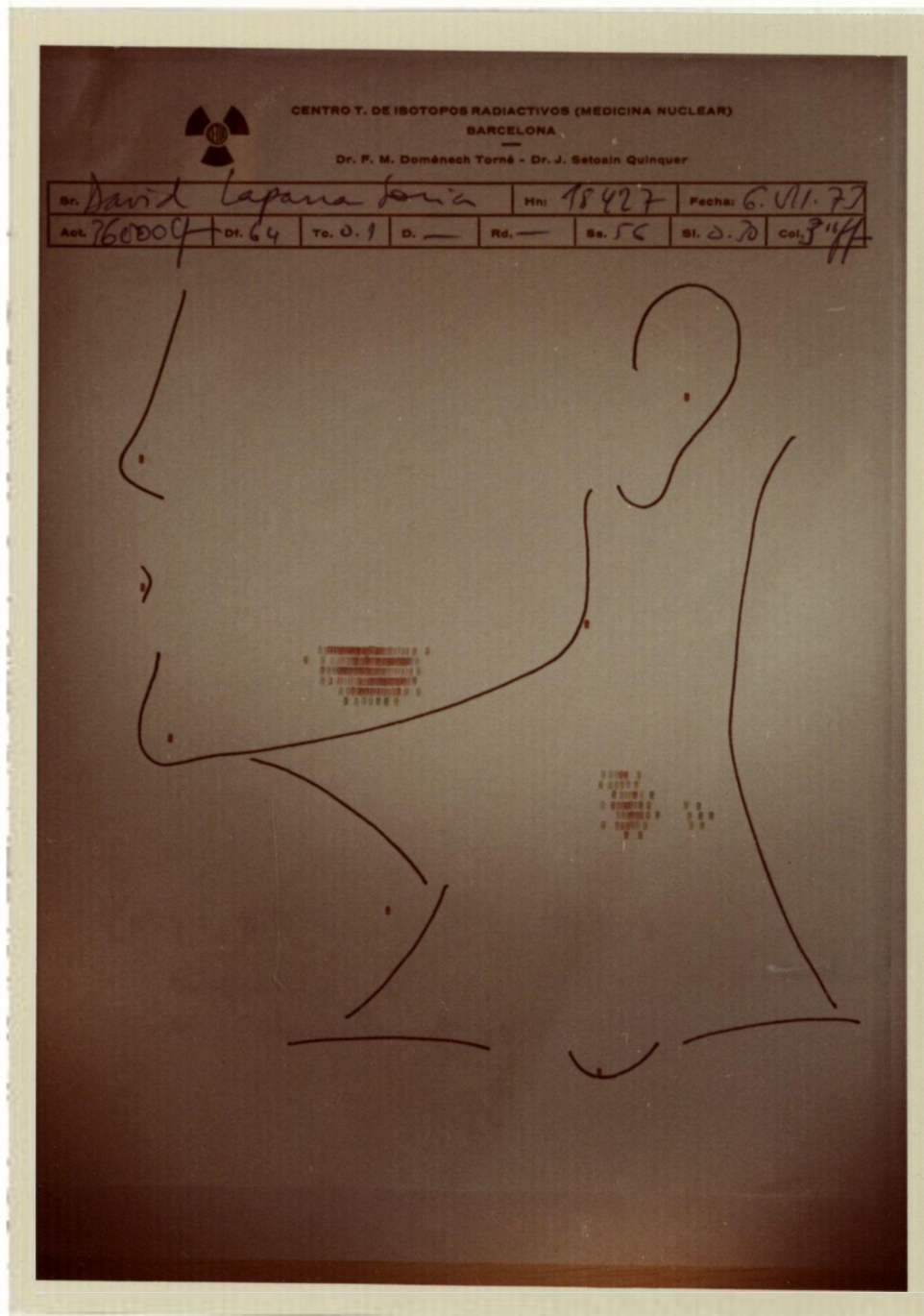
Obs. nº 6.- Base lengua.

Emigración buena a través de grupos anterior y posterior cadena yugular.



Obs. nº 7.- Base lengua.

Buena emigración a través de los grupos anteriores de la cadena yugular.



Obs. nº 8.- I. Base lengua.

Emigración escasa. Solo se visualiza un elemento ganglionar.



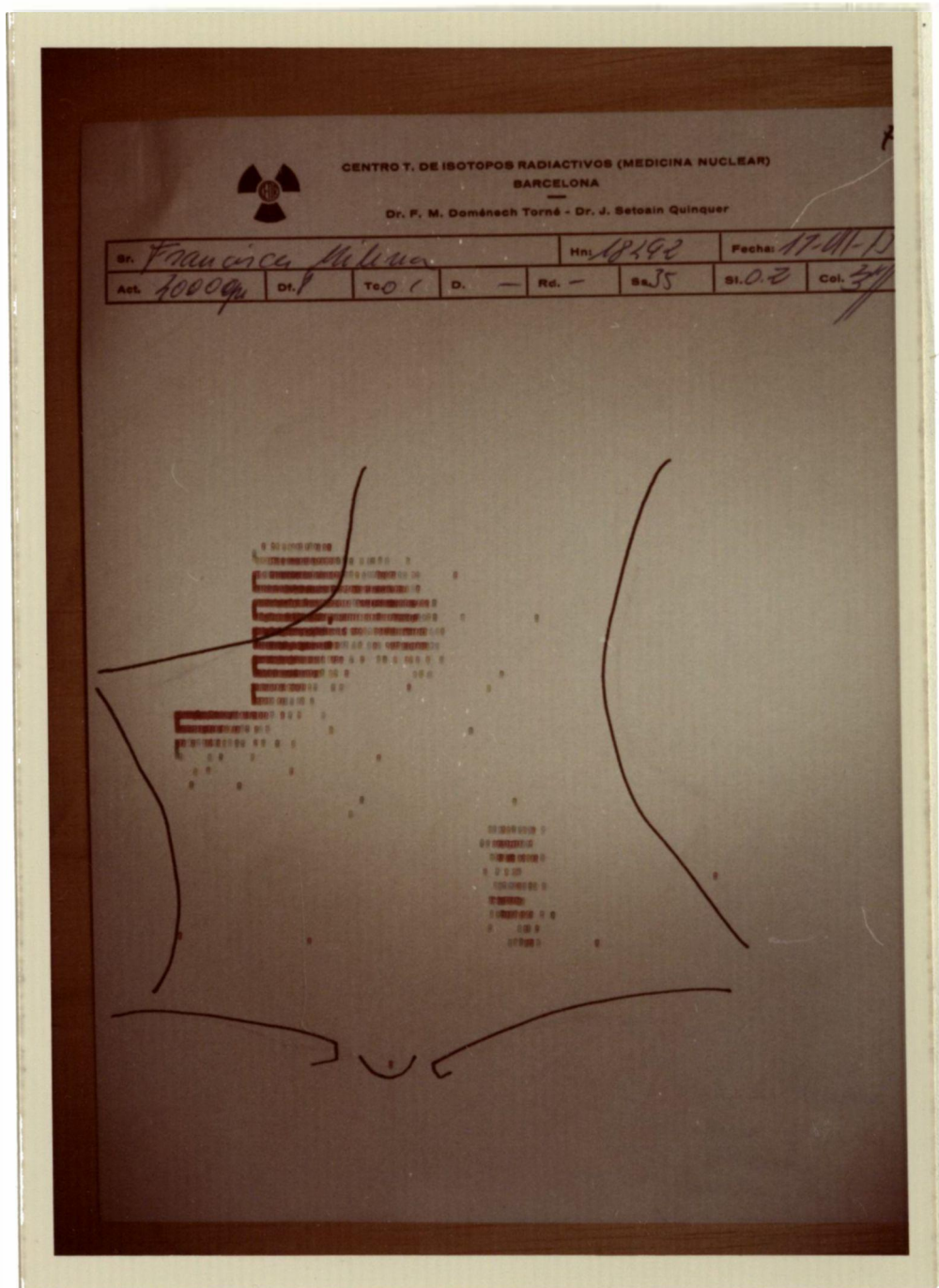
Obs. nº 9.- I. Base lengua.

Emigración muy buena a través de los grupos anteriores y posteriores de la Cadena Yugular.



Obs. nº 10.- Base lengua.

Se observa solo el primer grupo de Cadena Yugular.



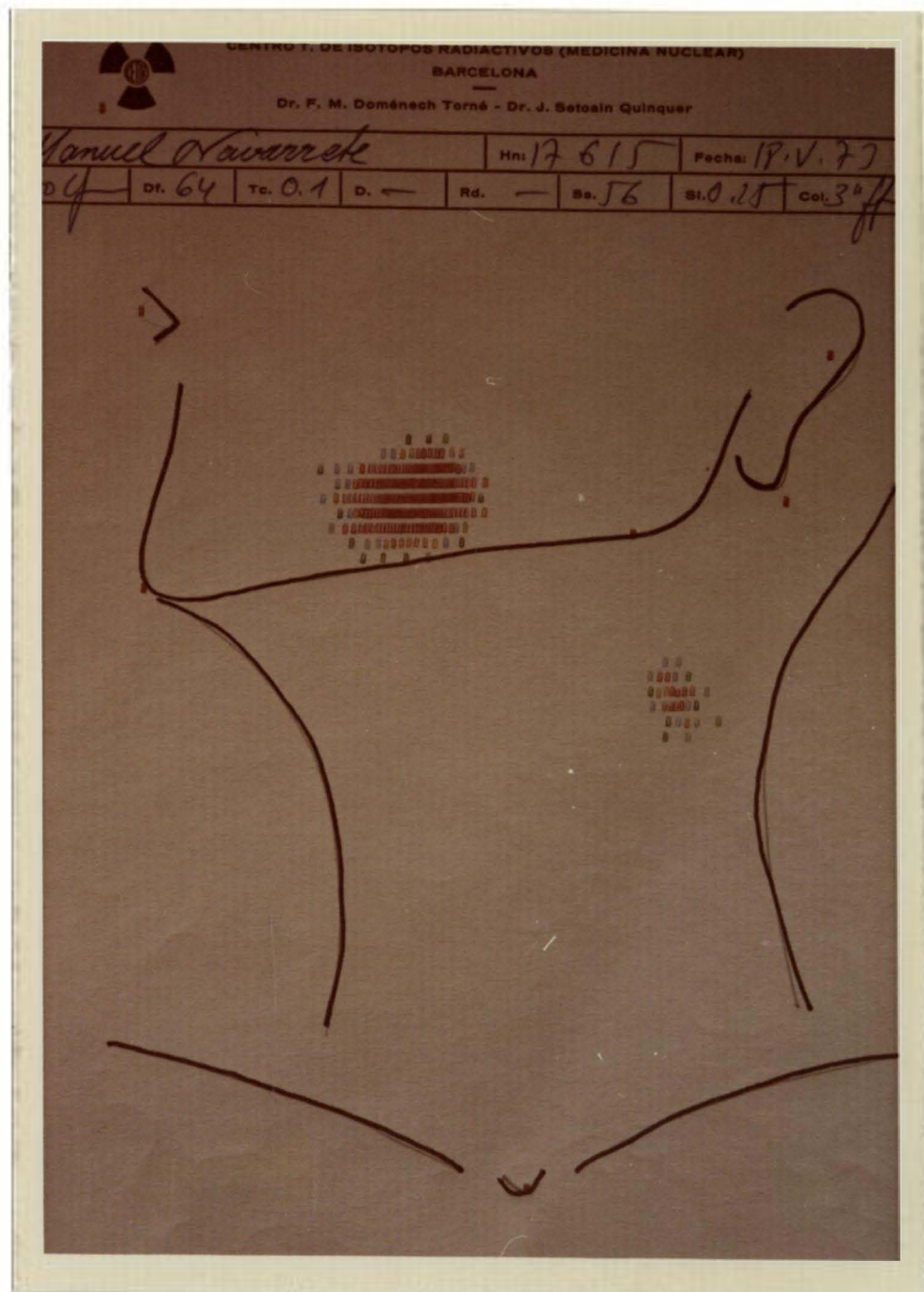
Obs. nº 11.- I. Base lengua.

Gran parte del trazador queda retenido pero se observan varios elementos de Cadena Yugular anterior.



Obs. nº 12.- Base lengua.

Emigración discreta hacia cadena yugular.



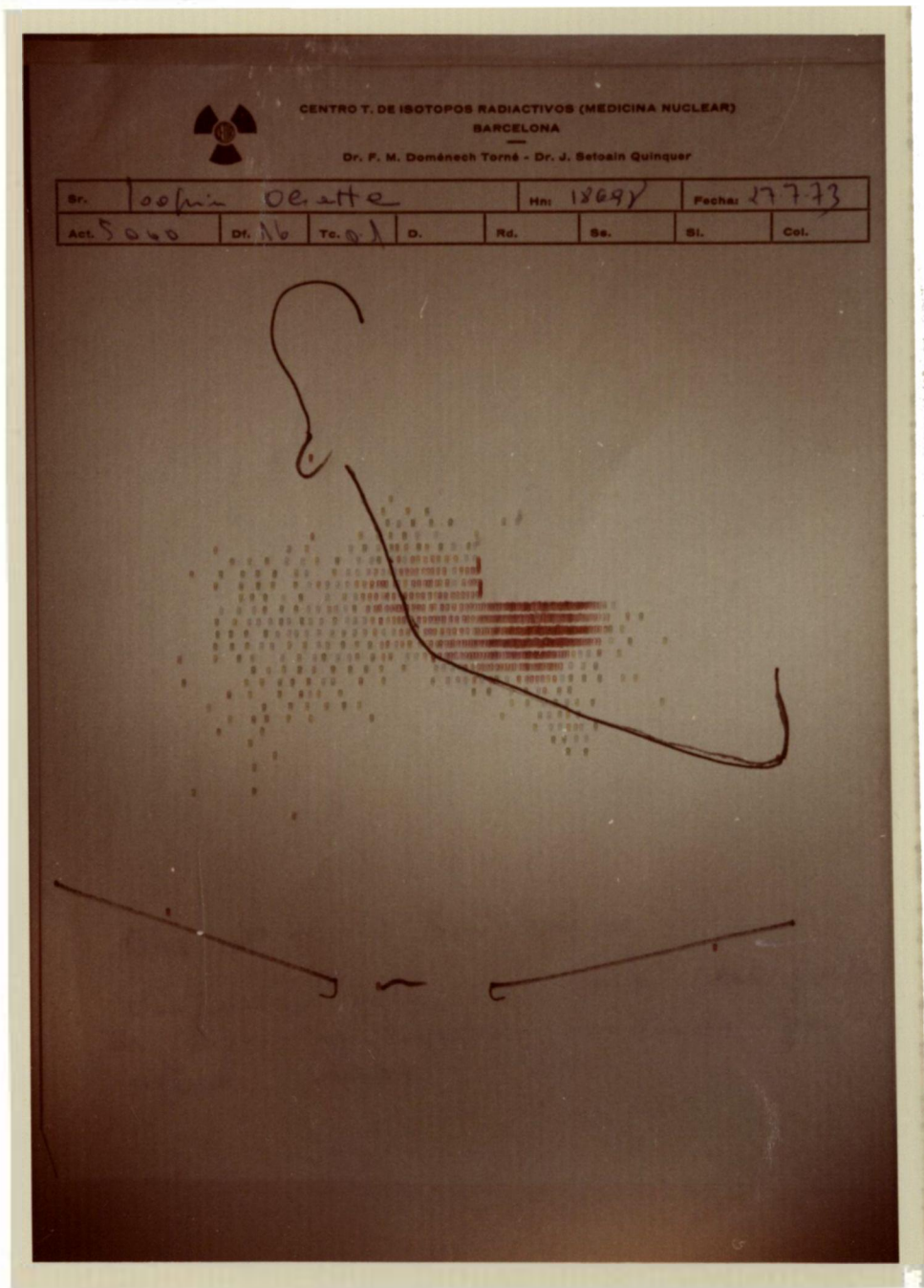
Obs. Nº13.- I.Base lengua.

Emigración del trazador escasa, solo se aprecia un grupo de la C.Yugular.



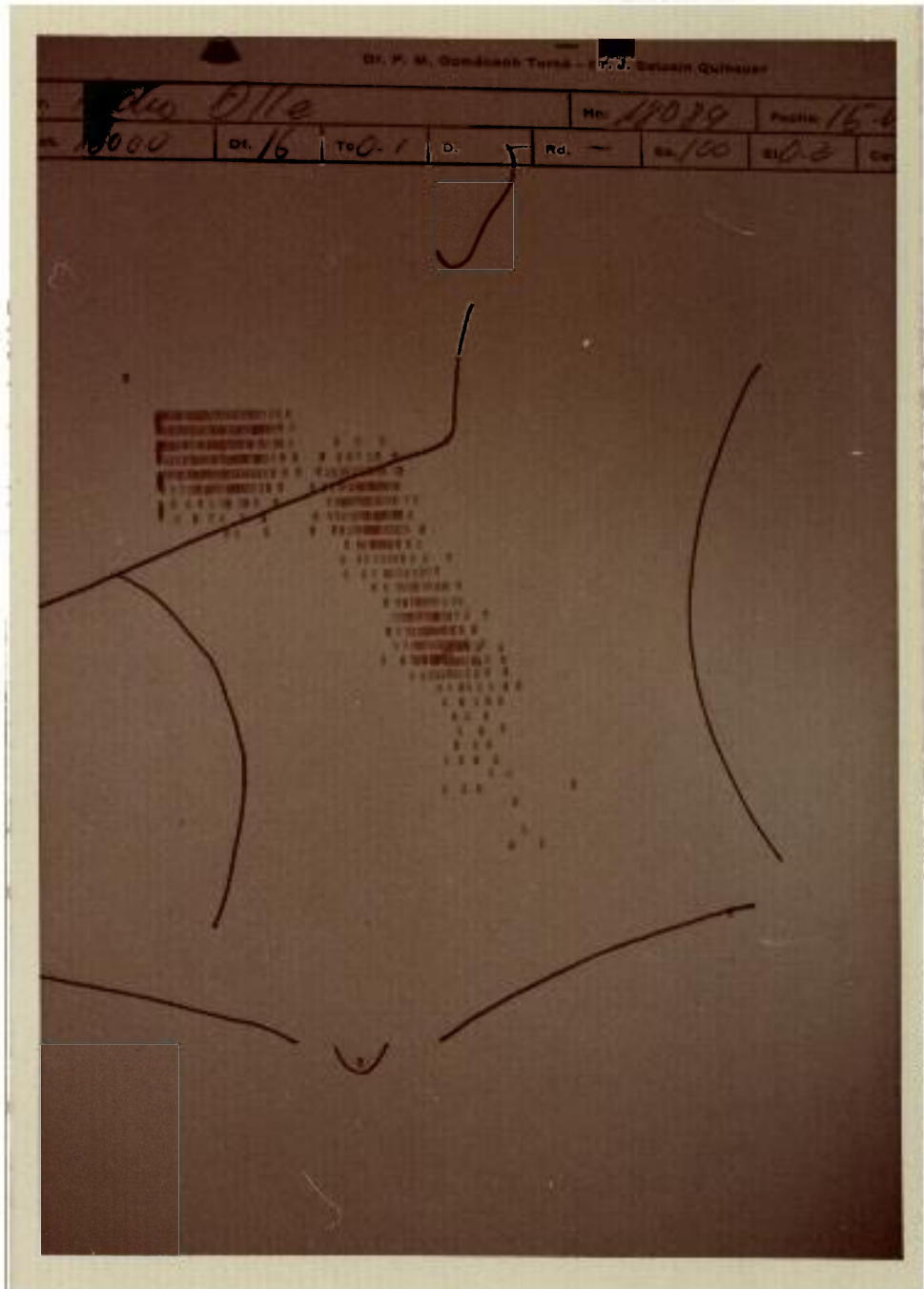
Obs. nº 14.- I. Base lengua.

Buena emigración del trazador por los grupos anterior y posterior de la Cadena Yugular.



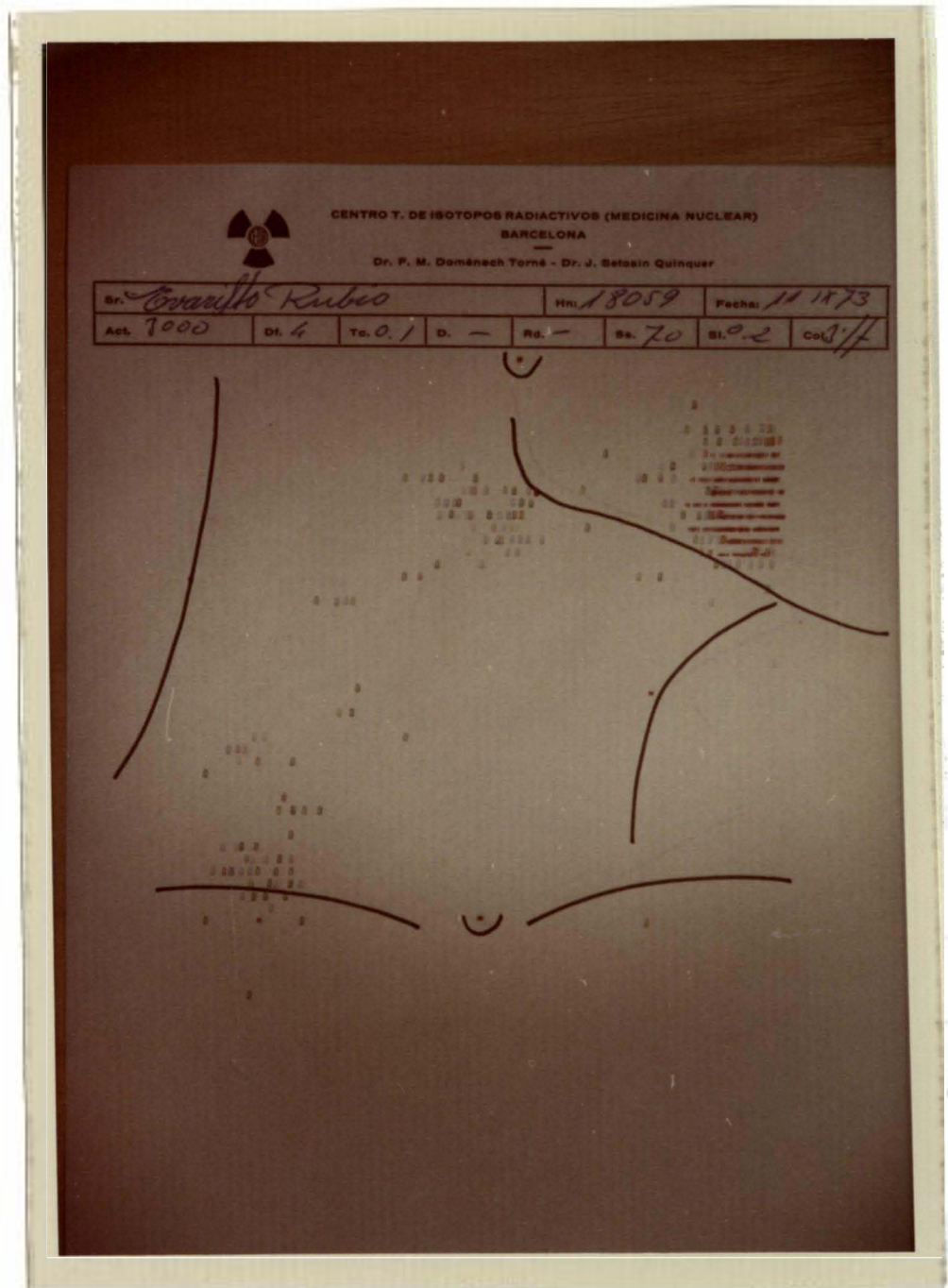
Obs. nº 15.- I. Base lengua.

Emigración nula a partir del punto de inyección.
Enfermo irradiado por neoplasia laríngea.



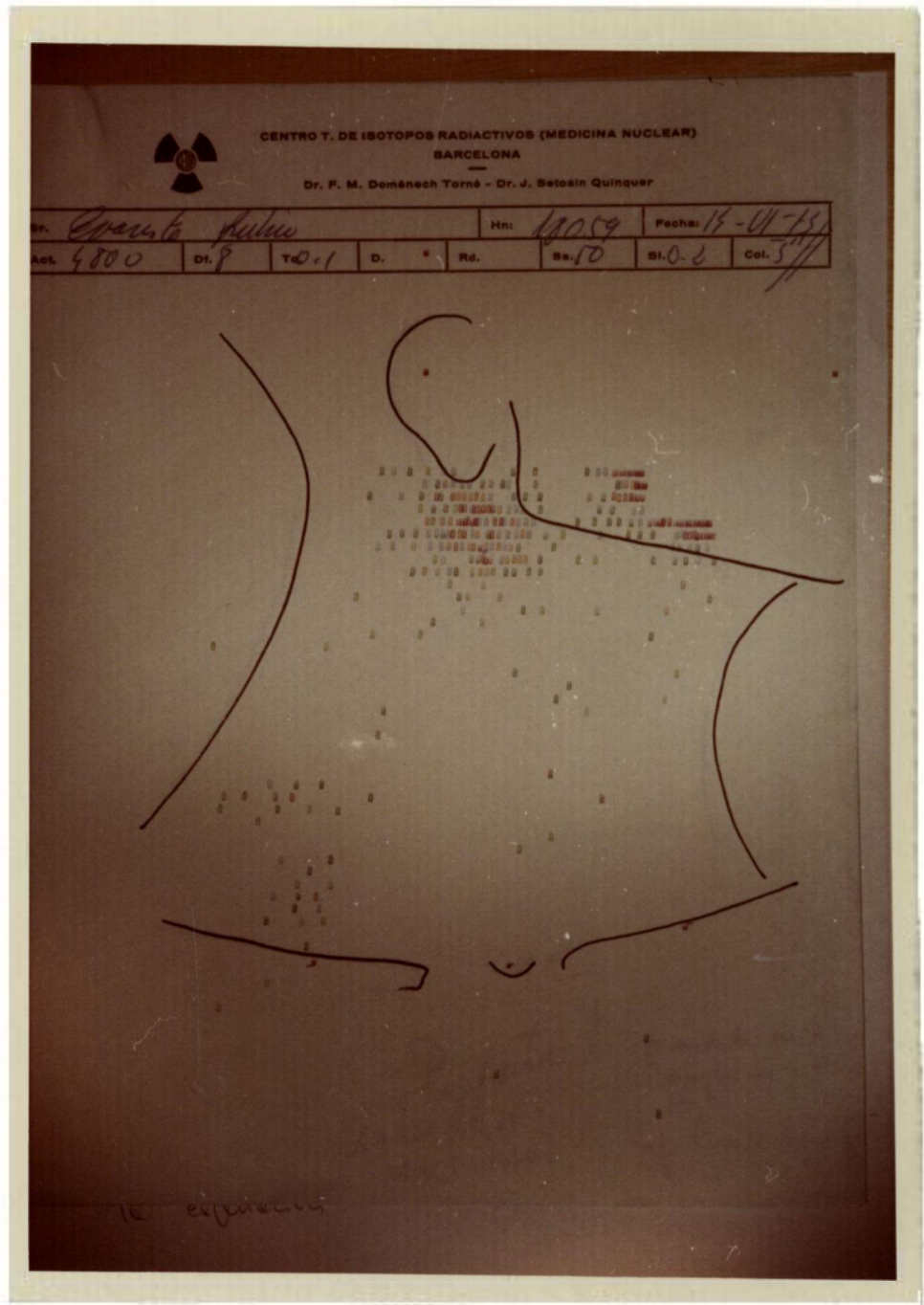
Obs. nº 16.- I. Base lengua.

Emigración buena hacia los grupos anteriores de la Cadena Yugular.



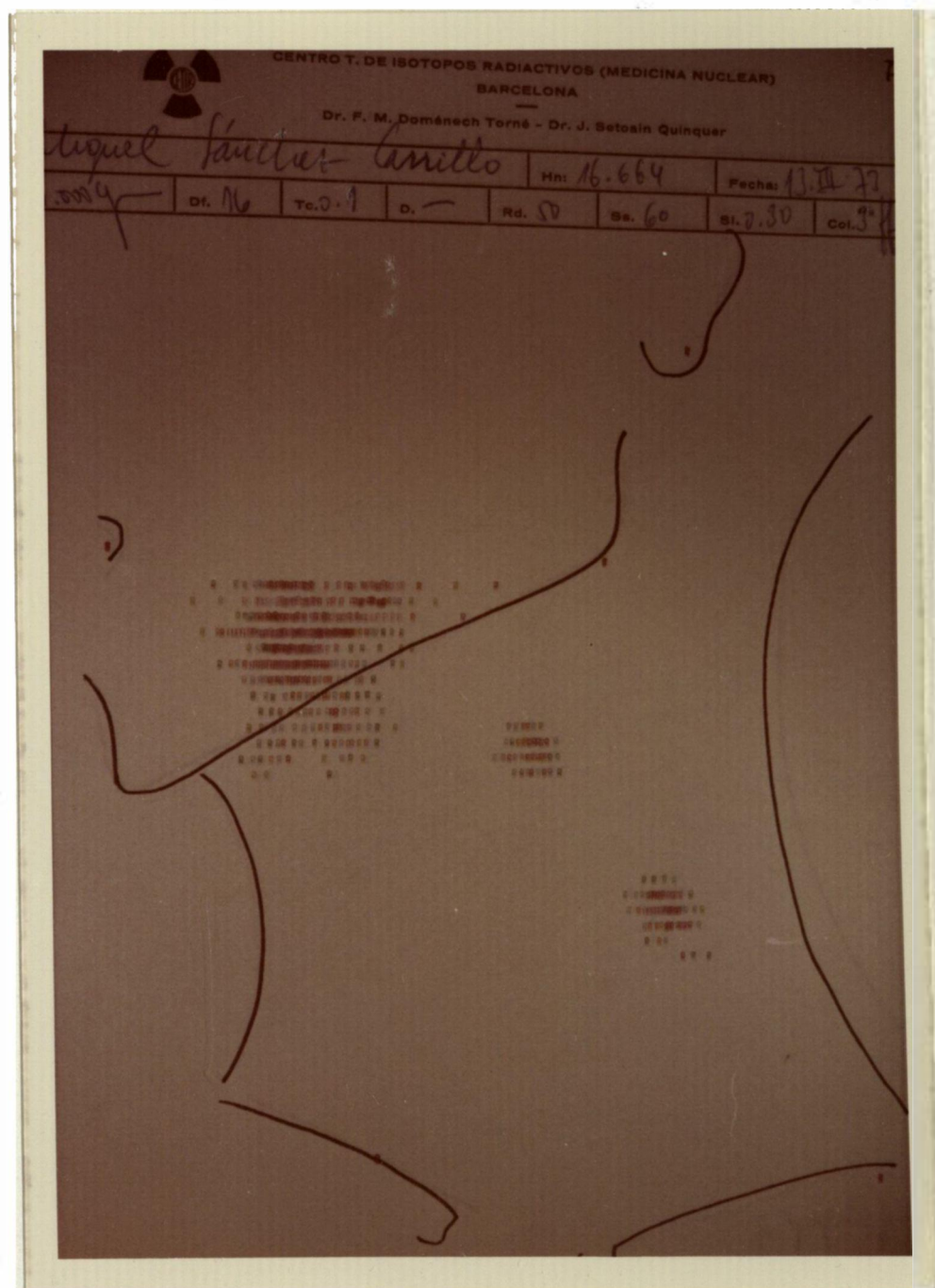
Obs. nº 17.- I. Base lengua.

Emigración escasa. Observándose no obstante señales de actividad en zona supraclavicular. Enfermo irradiado 2 meses antes de realizada la exploración.



Obs. nº 17-bis.- Base lengua.

Emigración escasa transcurridos 4 meses desde la irradiación.



Obs. nº 18.- I. Base lengua.

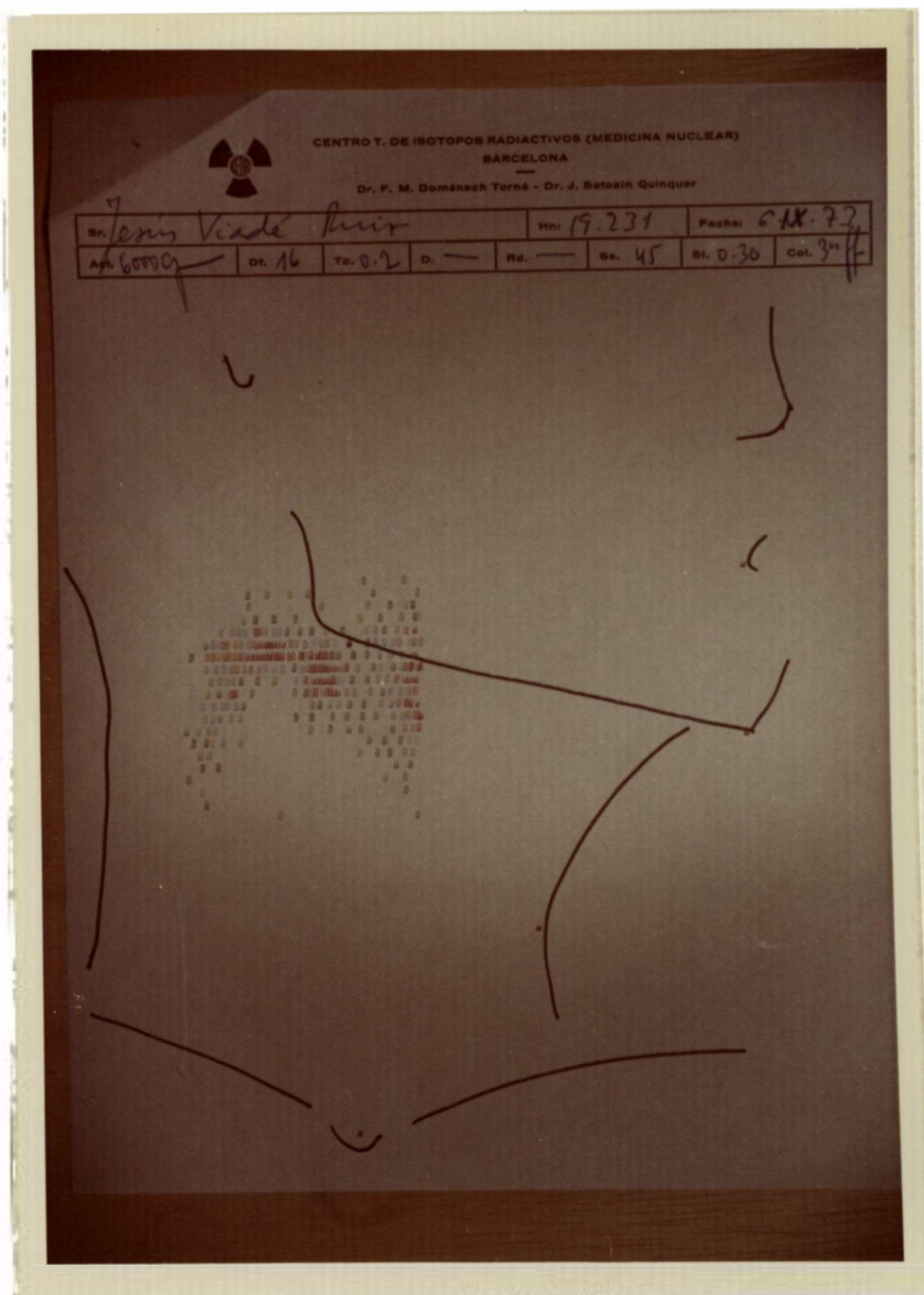
Emigración discreta, visualizándose dos grupos de Cadena Yugular.



Obs. nº 19.- I. Base lengua.

Emigración discreta del trazador apreciándose su presencia en un grupo supraclavicular.

Este enfermo fue gangliectomizado hace nueve meses apreciándose de este modo una regeneración de las vías linfáticas cervicales.



Obs. nº 20.- Base lengua.

Emigración hasta grupos subángulomaxilares. Enfermo portador de una adenopatía alta de cadena Yugular izquierda. La emigración vemos que es muy discreta hacia Cadena Espinal.

Distribución del trazador en los diversos grupos ganglionares según cada punto de inyección utilizado.

Inyección Retroauricular.- Nº Total de enfermos = 16

Nº de enfermos normales = 16

- Emigración a Cadena Espinal = 16
- " " " Yugular = 5
- " " " Cervical Transversa = 6

Porcentajes de emigración hacia:

- Cadena Espinal 100%
- " Yugular 31%
- " Cervical Transversa .. 37%

Inyección amigdalalar.- Nº Total de enfermos = 24

Nº de enfermos normales = 20

- Emigración a Cadena Espinal = 3
- " " " Yugular = 17
- " " " Cervical Transversa = 2

Nº de enfermos con patología ganglionar o sometidos a terapéutica (Irradiados o gangliectomizados) = 4

(Vease cada caso por separado).

Porcentajes de emigración hacia:

- Cadena Espinal 15%
- " Yugular 85%
- " Cervical Transversa . 8%

Inyección Base de Lengua.- Nº Total de enfermos = 20

Nº de enfermos normales = 14

- Emigración a Cadena Espinal = 0
- " " " Yugular = 13
- " " " Cervical Transversa = 1

Nº de enfermos con patología ganglionar o sometidos a te
rapéutica (Irradiados o gangliectomizados) = 7

3 enfermos Irradiados - Nula.

1 " " - Disminuida.

2 " Ganglios palpables - Zona hipo

1 " Gangliectomizados - Se observa repermeabiliza
ción.

Porcentajes de emigración hacia:

- Cadena Espinal 0%

- " Yugular 93%

- " Cervical transversa ... 4%

Inyección Cara interna mejilla.- Nº Total de enfermos=19

Nº de enfermos normales = 16

- Emigración a Cadena Espinal = 0

- " " " Yugular = 16

- " " " Cervical Transversa = 1

Nº de enfermos con patología ganglionar o sometidos a te
rapéutica (Irradiados o gangliectomizados) = 3

2 enfermos gangliectomizados - Nula.

1 " irradiado - nula.

Porcentajes de emigración hacia:

- Cadena Espinal 0%

- " Yugular100%

- " Cervical transversa ... 1%